



# 16 ビット、2 MSPS/1 MSPS/ 500 kSPS、高精度擬似差動 SAR ADC

## データシート

## AD4000/AD4004/AD4008

### 特長

スループット: 2 MSPS/1 MSPS/500 kSPS のオプション  
INL:  $\pm 1.0$  LSB (最大値)  
16 ビットのノー・ミス・コードを確保  
低消費電力  
2 MSPS で 9.75 mW、1 MSPS で 4.9 mW、500 kSPS で 2.5 mW (VDD のみ)  
10 kSPS で 70  $\mu$ W、2 MSPS で 14 mW (合計)  
SNR: 1 kHz で 93 dB (代表値)  
 $V_{REF} = 5$  V、100 kHz で 90 dB (代表値)  
THD: 1 kHz で -115 dB (代表値)  
 $V_{REF} = 5$  V、100 kHz で -95 dB (代表値)  
簡単に使用できる機能でシステムの消費電力を削減し、複雑さを軽減します。  
入力過電圧クランプ回路  
非直線性入力チャージ・キックバックの削減  
高インピーダンス・モード  
長いアクイジション・フェーズ  
入力スパン圧縮  
高速変換で低 SPI クロック・レートを実現  
SPI プログラマブル・モード、読み出し/書き込み機能、データストラップワード  
疑似差動 (シングル・エンド) アナログ入力範囲:  
0 V ~  $V_{REF}$  ( $V_{REF}$  は 2.4 V ~ 5.1 V)  
1.71 V ~ 5.5 V のロジック・インターフェースで 1.8 V の単電源動作  
SAR アーキテクチャ: 遅延/パイプライン遅延なし、最初の変換が有効  
最初の変換の精度  
確認動作: -40 °C ~ +125 °C  
シリアル・インターフェース: SPI/QSPI/MICROWIRE/DSP 互換  
複数の ADC をデジ털接続可能、ビギー・インジケータ搭載  
10 ピン・パッケージ: 3 mm × 3 mm の LFCSP、3 mm × 4.90 mm の MSOP  
アプリケーション  
ATE (自動試験装置)  
マシン・オートメーション  
医療機器  
バッテリ駆動装置  
高精度のデータ・アクリジョン・システム

### 概要

AD4000/AD4004/AD4008 は低ノイズ、低消費電力の高速 16 ビット高精度逐次比較レジスタ (SAR) A/D コンバータ (ADC) です。AD4000、AD4004、AD4008 のスループットは、それぞれ 2 MSPS、1 MSPS、500 kSPS です。これらの製品には、シグナル・チェーンの消費電力を減らし、シグナル・チェーンの複雑性を軽減し、高いチャンネル密度を実現できる、使いやすい機能が組み込まれています。高インピーダンス・モードと長いアクリジョン・フェーズを組み合わせることで、専用の高出力、高速 ADC ドライバが必要になり、低消費電力、高精度アンプの範囲を広げ、最適な性能を実現しながら、これらの ADC を直接駆動できます。入力スパン圧縮機能を備えているので、負電源なしで ADC ドライバ・アンプと ADC を共通の電源レールで動作しながら、ADC コードの全範囲を維持できます。シリアル周辺機器インターフェース (SPI) のクロック・レートには、デジタル入出力の消費電力量を減らし、プロセッサの選択肢を広げ、デジタル絶縁間でデータを送信するタスクを簡略化することが要求されます。

AD4000/AD4004/AD4008 は 1.8 V の電源で動作し、接地センス (IN-) を基準にして 0 V ~ VREF の範囲にあるアナログ入力 (IN+) をサンプリングします。ここで、VREF は 2.4 V ~ 5.1 V の範囲にあります。AD4000 は、ターボ・モードで最小 70 MHz の SCK レートで 2 MSPS 時に 14 mW しか消費せず、AD4004 は 1 MSPS 時に 7 mW、AD4008 は 500 kSPS 時に 3.5 mW しか消費しません。AD4000/AD4004/AD4008 は、いずれも 1 kHz の入力に対して最大  $\pm 0.1$  LSB の積分非直線性誤差 (INL)、および 93 dB の S/N 比で 16 ビットのノー・ミス・コードを確保します。リファレンス電圧は外付けで適用され、電源電圧とは独立して設定できます。

SPI 互換の多機能シリアル・インターフェースには、7 種類のモードがあります。このモードには、SDI 入力を使用して 1 つの 3 線式バスで複数の ADC をデジタル接続する機能も含まれます。オプションでビギー・インジケータも用意しています。AD4000/AD4004/AD4008 は、独立した VIO 電源を使用することで、1.8 V、2.5 V、3 V、5 V のロジックに対応します。

AD4000/AD4004 には 10 ピン MSOP および 10 ピン LFCSP があり、AD4008 には 10 ピン LFCSP があり、-40 °C ~ +125 °C の動作で仕様規定されています。このデバイスは、18 ビット、2 MSPS の AD4003 とピン互換です (表 8 を参照)。

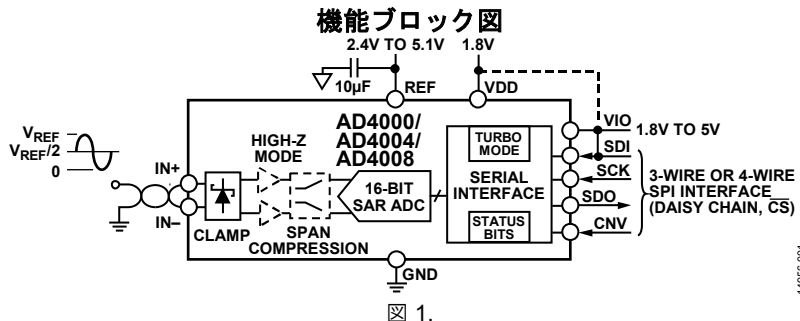


図 1.

アナログ・デバイセズ社は、提供する情報が正確で信頼できるものであることを期していますが、その情報の利用に関して、あるいは利用によって生じる第三者の特許やその他の権利の侵害に関して一切の責任を負いません。また、アナログ・デバイセズ社の特許または特許の権利の使用を明示的または暗示的に許諾するものでもありません。仕様は、予告なく変更される場合があります。本紙記載の商標および登録商標は、それぞれの所有者の財産です。※日本語版資料は REVISION が古い場合があります。最新の内容については、英語版をご参照ください。

## 目次

特長	1	アナログ入力	20
アプリケーション	1	ドライバ・アンプの選択	21
概要	1	簡単なドライブ機能	22
機能ブロック図	1	電圧リファレンス入力	23
改訂履歴	3	電源	24
仕様	4	デジタル・インターフェース	24
タイミング仕様	7	レジスタ読出し／書き込み機能	25
絶対最大定格	9	ステータス・ワード	27
熱抵抗	9	CSモード、3線式ターボ・モード	28
ESDに関する注意	9	CSモード、3線式、ビジー・インジケータなし	29
ピン配置およびピン機能の説明	10	CSモード、3線式、ビジー・インジケータあり	30
代表的な性能特性	11	CSモード、4線式ターボ・モード	31
用語の定義	16	CSモード、4線式、ビジー・インジケータなし	32
動作原理	17	CSモード、4線式、ビジー・インジケータあり	33
回路説明	17	デイジーチェーン・モード	34
コンバータの動作	18	レイアウトのガイドライン	35
伝達関数	18	AD4000/AD4004/AD4008の性能の評価	35
アプリケーション情報	19	外形寸法	36
代表的なアプリケーション図	19	オーダー・ガイド	36

## 改訂履歴

## 10/2017—Rev. B to Rev. C

Changes to Features Section.....	1
Added Multiplexed Applications Section .....	21
Changes to Ordering Guide .....	36

## 9/2017—Rev. A to Rev. B

Added AD4008.....	Universal
Changes to Title, Features Section, General Description Section, and Figure 1 .....	1
Changes to Table 1 .....	4
Changes to Timing Specifications Section and Table 2 .....	7
Changes to Table 4 .....	8
Changes to Table 5 .....	9
Changes to Typical Performance Characteristics Section Layout.....	11
Changes to Figure 19.....	13
Added Figure 25; Renumbered Sequentially .....	14
Changes to Figure 28.....	14
Change to Zero Error Definition, Terminology Section.....	16
Changes to Circuit Information Section and Table 8 .....	17
Changes to Converter Operation Section and Note 1 and Note 2, Table 9 .....	18
Changes to High Frequency Input Signals Section, Figure 36 Caption, and Figure 37 Caption .....	21
Added Figure 38 .....	21
Changes to Input Span Compression Section, High-Z Mode Section, Figure 40, and Figure 41 Caption .....	22
Changes to Figure 42 Caption, Figure 43 Caption, Power Supply Section, and Figure 44 Caption.....	23
Changes to Figure 45, Digital Interface Section, and Table 11 .....	24
Changes to Register Read/Write Functionality Section and Figure 46 Caption .....	25
Changes to CS Mode, 3-Wire Turbo Mode Section.....	28
Changes to CS Mode, 3-Wire with Busy Indicator Section .....	30
Changes to CS Mode, 4-Wire Turbo Mode Section.....	31
Changes to CS Mode, 4-Wire with Busy Indicator Section .....	33
Changes to Daisy-Chain Mode Section .....	34
Changed Evaluating the AD4000/AD4004 Performance Section to Evaluating the AD4000/AD4004/AD4008 Performance Section .....	35
Changes to Evaluating the AD4000/AD4004/AD4008 Performance Section.....	35
Changes to Ordering Guide .....	36

## 4/2017—Rev. 0 to Rev. A

Added AD4004.....	Universal
Changes to Title, Features Section, General Description Section, and Figure 1 .....	1
Changes to Table 1 .....	3
Changes to Table 2 .....	6
Changes to Table 4 .....	7
Changes to Table 7 .....	9
Changes to Figure 19 and Figure 21 .....	12
Changes to Figure 24.....	13
Added Figure 25; Renumbered Sequentially .....	13
Moved Terminology Section .....	15
Changes to Circuit Information Section and Table 8 .....	16
Changes to Figure 33.....	18
Changes to RC Filters Section.....	19
Changes to High Frequency Input Signals Section.....	20
Changes to High-Z Mode Section, Figure 38, and Figure 39 .....	21
Changes to Long Acquisition Phase Section and Figure 43.....	22
Changes to Digital Interface Section and Register Read/Write Functionality Section.....	23
Changes to Figure 45.....	24
Changes to CS Mode, 3-Wire Turbo Mode Section.....	26
Added Figure 48.....	26
Changes to CS Mode, 4-Wire Turbo Mode .....	29
Added Figure 54.....	29
Changes to Figure 56 and Figure 57 .....	30
Changes to Layout Guidelines Section and Evaluating the AD4000/AD4004 Performance Section .....	33
Updated Outline Dimensions .....	34
Changes to Ordering Guide Section .....	34

## 10/2016—Revision 0: Initial Version

## 仕様

特に指定のない限り、VDD = 1.71 V ~ 1.89 V、VIO = 1.71 V ~ 5.5 V、V<sub>REF</sub> = 5 V、すべての仕様で T<sub>MIN</sub> ~ T<sub>MAX</sub>、高インピーダンス・モードは無効、スパン圧縮は無効、ターボ・モードは有効、サンプリング周波数は AD4000 で (f<sub>S</sub>) = 2 MSPS、AD4004 で f<sub>S</sub> = 1 MSPS、AD4008 で f<sub>S</sub> = 500 kSPS。

表 1.

Parameter	Test Conditions/Comments	Min	Typ	Max	Unit
RESOLUTION		16			Bits
ANALOG INPUT					
Voltage Range	IN+ voltage (V <sub>IN+</sub> ) – IN– voltage (V <sub>IN–</sub> )	0		V <sub>REF</sub>	V
Operating Input Voltage	V <sub>IN+</sub> to GND	-0.1		V <sub>REF</sub> + 0.1	V
	V <sub>IN–</sub> to GND	-0.1		+0.1	V
	Span compression enabled	0.1 × V <sub>REF</sub>		0.9 × V <sub>REF</sub>	V
Analog Input Current	Acquisition phase, T = 25°C		0.3		nA
	High-Z mode enabled, converting dc input at 2 MSPS		1		μA
THROUGHPUT					
Complete Cycle					
AD4000		500			ns
AD4004		1000			ns
AD4008		2000			ns
Conversion Time		270	290	320	ns
Acquisition Phase <sup>1</sup>					
AD4000		290			ns
AD4004		790			ns
AD4008		1790			ns
Throughput Rate <sup>2</sup>					
AD4000		0		2	MSPS
AD4004		0		1	MSPS
AD4008		0		500	kSPS
Transient Response <sup>3</sup>			150		ns
DC ACCURACY					
No Missing Codes		16			Bits
Integral Nonlinearity Error (INL)		-1.0	±0.2	+1.0	LSB
Differential Nonlinearity Error (DNL)	T = 0°C to 85°C	-0.8	±0.2	+0.8	LSB
Transition Noise		-0.5	±0.15	+0.5	LSB
Zero Error			0.5		LSB
Zero Error Drift <sup>4</sup>		-4.5		+4.5	LSB
Gain Error		-0.55		+0.55	ppm/°C
Gain Error Drift <sup>4</sup>		-20	±3	+20	LSB
Power Supply Sensitivity	VDD = 1.8 V ± 5%		0.5		ppm/°C
1/f Noise <sup>5</sup>	Bandwidth = 0.1 Hz to 10 Hz		6		LSB
					μV p-p
AC ACCURACY					
Dynamic Range			93.5		dB
Total RMS Noise			37		μV rms
f <sub>IN</sub> = 1 kHz, -0.5 dBFS, V <sub>REF</sub> = 5 V					
Signal-to-Noise Ratio (SNR)		91	93		dB
Spurious-Free Dynamic Range (SFDR)			112		dB
Total Harmonic Distortion (THD)			-115		dB
Signal-to-Noise-and-Distortion Ratio (SINAD)		91	92.5		dB
Oversampled Dynamic Range	Oversampling ratio (OSR) = 256, V <sub>REF</sub> = 5 V		117		dB

## データシート

## AD4000/AD4004/AD4008

Parameter	Test Conditions/Comments	Min	Typ	Max	Unit
$f_{IN} = 1 \text{ kHz}, -0.5 \text{ dBFS}, V_{REF} = 2.5 \text{ V}$		85.5	87.5		dB
SNR			115		dB
SFDR			-113		dB
THD		85.5	87		dB
SINAD					dB
$f_{IN} = 100 \text{ kHz}, -0.5 \text{ dBFS}, V_{REF} = 5 \text{ V}$			90		dB
SNR			-95		dB
THD			89		dB
SINAD					dB
$f_{IN} = 400 \text{ kHz}, -0.5 \text{ dBFS}, V_{REF} = 5 \text{ V}$			85		dB
SNR			-91		dB
THD			84		dB
SINAD					dB
-3 dB Input Bandwidth			10		MHz
Aperture Delay			1		ns
Aperture Jitter			1		ps rms
REFERENCE					
Voltage Range, $V_{REF}$		2.4		5.1	V
Current					
AD4000	$V_{REF} = 5 \text{ V}$		0.75		mA
AD4004	2 MSPS		0.325		mA
AD4008	1 MSPS		0.185		mA
500 kSPS					
INPUT OVERVOLTAGE CLAMP					
IN+/IN- Current, $I_{IN+}/I_{IN-}$	$V_{REF} = 5 \text{ V}$		50		mA
	$V_{REF} = 2.5 \text{ V}$		50		mA
$V_{IN+}/V_{IN-}$ at Maximum $I_{IN+}/I_{IN-}$	$V_{REF} = 5 \text{ V}$		5.4		V
	$V_{REF} = 2.5 \text{ V}$		3.1		V
$V_{IN+}/V_{IN-}$ Clamp On/Off Threshold	$V_{REF} = 5 \text{ V}$	5.25	5.4		V
	$V_{REF} = 2.5 \text{ V}$	2.68	2.8		V
Deactivation Time			360		ns
REF Current at Maximum $I_{IN+}$	$V_{IN+} > V_{REF}$		100		μA
DIGITAL INPUTS					
Logic Levels					
Input Low Voltage, $V_{IL}$	$V_{IO} > 2.7 \text{ V}$	-0.3		$+0.3 \times V_{IO}$	V
	$V_{IO} \leq 2.7 \text{ V}$	-0.3		$+0.2 \times V_{IO}$	V
Input High Voltage, $V_{IH}$	$V_{IO} > 2.7 \text{ V}$	0.7 × $V_{IO}$		$V_{IO} + 0.3$	V
	$V_{IO} \leq 2.7 \text{ V}$	0.8 × $V_{IO}$		$V_{IO} + 0.3$	V
Input Low Current, $I_{IL}$		-1		+1	μA
Input High Current, $I_{IH}$		-1		+1	μA
Input Pin Capacitance			6		pF
DIGITAL OUTPUTS					
Data Format				Serial 16 bits, straight binary	
Pipeline Delay				Conversion results available immediately after completed conversion	
Output Low Voltage, $V_{OL}$	$I_{SINK} = 500 \mu\text{A}$			0.4	V
Output High Voltage, $V_{OH}$	$I_{SOURCE} = -500 \mu\text{A}$				V
VIO - 0.3					
POWER SUPPLIES					
VDD		1.71	1.8	1.89	V
VIO		1.71		5.5	V
Standby Current	$VDD \text{ and } VIO = 1.8 \text{ V}, T = 25^\circ\text{C}$		1.6		μA

Parameter	Test Conditions/Comments	Min	Typ	Max	Unit
Power Dissipation	VDD = 1.8 V, VIO = 1.8 V, V <sub>REF</sub> = 5 V 10 kSPS, high-Z mode disabled		70		μW
	500 kSPS, high-Z mode disabled		3.5	4.2	mW
	1 MSPS, high-Z mode disabled		7	8.2	mW
	2 MSPS, high-Z mode disabled		14	16	mW
	500 kSPS, high-Z mode enabled		4	5	mW
	1 MSPS, high-Z mode enabled		8	9.9	mW
	2 MSPS, high-Z mode enabled		16	19	mW
	500 kSPS, high-Z mode disabled		2.5		mW
	1 MSPS, high-Z mode disabled		4.9		mW
	2 MSPS, high-Z mode disabled		9.75		mW
VDD Only	500 kSPS, high-Z mode disabled		0.9		mW
	1 MSPS, high-Z mode disabled		1.9		mW
	2 MSPS, high-Z mode disabled		3.75		mW
	500 kSPS, high-Z mode disabled		0.1		mW
REF Only	1 MSPS, high-Z mode disabled		0.2		mW
	2 MSPS, high-Z mode disabled		0.5		mW
	500 kSPS, high-Z mode disabled		7		nJ/sample
Energy per Conversion					
TEMPERATURE RANGE	T <sub>MIN</sub> to T <sub>MAX</sub>	-40		+125	°C
Specified Performance					

<sup>1</sup> アクイジョン・フェーズとは、入力サンプリング・コンデンサが AD4000 では 2 MSPS、AD4004 では 1 MSPS、AD4008 では 500 kSPS のスループット・レートで動作する ADC を使用して、新しい入力の取得に使用できる時間です。

<sup>2</sup> ターボ・モードを有効にして、最小 SCK レートである 70 MHz を使用した場合のみ、2 MSPS のスループット・レートが実現します。さまざまな動作モードで可能な最大スループットについては、表 4 を参照してください。

<sup>3</sup> 過渡応答は、±0.5 LSB の精度でフルスケール入力ステップを達成するのに必要な時間です。

<sup>4</sup> 最小値と最大値は特性評価によって確保されていますが、出荷テストの対象外です。

<sup>5</sup> 図 23 の 1/f ノイズ・プロットを参照してください。

## タイミング仕様

特に指定のない限り、VDD = 1.71 V ~ 1.89 V、VIO = 1.71 V ~ 5.5 V、V<sub>REF</sub> = 5 V、すべての仕様で T<sub>MIN</sub> ~ T<sub>MAX</sub>、高インピーダンス・モードは無効、スパン圧縮は無効、ターボ・モードは有効、AD4000 で f<sub>S</sub> = 2 MSPS、AD4004 で f<sub>S</sub> = 1 MSPS、AD4008 で f<sub>S</sub> = 500 kSPS。タイミング電圧レベルについては、図 2 を参照してください。

表 2. デジタル・インターフェースのタイミング

Parameter	Symbol	Min	Typ	Max	Unit
CONVERSION TIME—CNV RISING EDGE TO DATA AVAILABLE	t <sub>CONV</sub>	270	290	320	ns
ACQUISITION PHASE <sup>1</sup>	t <sub>ACQ</sub>				
AD4000		290			ns
AD4004		790			ns
AD4008		1790			ns
TIME BETWEEN CONVERSIONS	t <sub>CYC</sub>				
AD4000		500			ns
AD4004		1000			ns
AD4008		2000			ns
CNV PULSE WIDTH (CS MODE) <sup>2</sup>	t <sub>CNVH</sub>	10			ns
SCK PERIOD (CS MODE) <sup>3</sup>	t <sub>SCK</sub>				
VIO > 2.7 V		9.8			ns
VIO > 1.7 V		12.3			ns
SCK PERIOD (DAISY-CHAIN MODE) <sup>4</sup>	t <sub>SCK</sub>				
VIO > 2.7 V		20			ns
VIO > 1.7 V		25			ns
SCK LOW TIME	t <sub>SCKL</sub>	3			ns
SCK HIGH TIME	t <sub>SCKH</sub>	3			ns
SCK FALLING EDGE TO DATA REMAINS VALID DELAY	t <sub>HSDO</sub>	1.5			ns
SCK FALLING EDGE TO DATA VALID DELAY	t <sub>DSDO</sub>				
VIO > 2.7 V			7.5		ns
VIO > 1.7 V			10.5		ns
CNV OR SDI LOW TO SDO D15 MOST SIGNIFICANT BIT (MSB) VALID DELAY (CS MODE)	t <sub>EN</sub>				
VIO > 2.7 V			10		ns
VIO > 1.7 V			13		ns
CNV RISING EDGE TO FIRST SCK RISING EDGE DELAY	t <sub>QUIET1</sub>	190			ns
LAST SCK FALLING EDGE TO CNV RISING EDGE DELAY <sup>5</sup>	t <sub>QUIET2</sub>	60			ns
CNV OR SDI HIGH OR LAST SCK FALLING EDGE TO SDO HIGH IMPEDANCE (CS MODE)	t <sub>DIS</sub>		20		ns
SDI VALID SETUP TIME FROM CNV RISING EDGE	t <sub>SSDICNV</sub>	2			ns
SDI VALID HOLD TIME FROM CNV RISING EDGE (CS MODE)	t <sub>HSDICNV</sub>	2			ns
SCK VALID HOLD TIME FROM CNV RISING EDGE (DAISY-CHAIN MODE)	t <sub>HSCKCNV</sub>	12			ns
SDI VALID SETUP TIME FROM SCK RISING EDGE (DAISY-CHAIN MODE)	t <sub>SSDISCK</sub>	2			ns
SDI VALID HOLD TIME FROM SCK RISING EDGE (DAISY-CHAIN MODE)	t <sub>HSDISCK</sub>	2			ns

<sup>1</sup> アクイジョン・フェーズとは、入力サンプリング・コンデンサが AD4000 では 2 MSPS、AD4004 では 1 MSPS、AD4008 では 500 kSPS のスループット・レートで動作する ADC を使用して、新しい入力の取得に使用できる時間です。

<sup>2</sup> ターボ・モードでは、t<sub>CNVH</sub> と最小 t<sub>QUIET1</sub> が一致する必要があります。

<sup>3</sup> ターボ・モードを有効にして、最小 SCK レートである 70 MHz を使用した場合のみ、2 MSPS のスループット・レートが実現します。さまざまな動作モードで可能な最大スループットについてでは、表 4 を参照してください。

<sup>4</sup> SCK では、50 % のデューティ・サイクルを想定しています。

<sup>5</sup> SINAD、S/N 比、および ENOB と t<sub>QUIET2</sub> の関係については、図 22 を参照してください。



<sup>1</sup>FOR VIO ≤ 2.7V, X = 80, AND Y = 20; FOR VIO > 2.7V, X = 70, AND Y = 30.

<sup>2</sup>MINIMUM V<sub>IH</sub> AND MAXIMUM V<sub>IL</sub> USED. SEE DIGITAL INPUTS SPECIFICATIONS IN TABLE 1.

14566-002

図 2. タイミングの電圧レベル

表 3. レジスタ読出し／書き込みのタイミング

Parameter	Symbol	Min	Typ	Max	Unit
READ/WRITE OPERATION					
CNV Pulse Width <sup>1</sup>	t <sub>CNVH</sub>	10			ns
SCK Period	t <sub>SCK</sub>	9.8			ns
VIO > 2.7 V		12.3			ns
VIO > 1.7 V					ns
SCK Low Time	t <sub>SCKL</sub>	3			ns
SCK High Time	t <sub>SCKH</sub>	3			ns
READ OPERATION					
CNV Low to SDO D15 MSB Valid Delay	t <sub>EEN</sub>				
VIO > 2.7 V		10			ns
VIO > 1.7 V		13			ns
SCK Falling Edge to Data Remains Valid	t <sub>HSDO</sub>	1.5			ns
SCK Falling Edge to Data Valid Delay	t <sub>DSDO</sub>				
VIO > 2.7 V		7.5			ns
VIO > 1.7 V		10.5			ns
CNV Rising Edge to SDO High Impedance	t <sub>DIS</sub>	20			ns
WRITE OPERATION					
SDI Valid Setup Time from SCK Rising Edge	t <sub>SSDISCK</sub>	2			ns
SDI Valid Hold Time from SCK Rising Edge	t <sub>HSDISCK</sub>	2			ns
CNV Rising Edge to SCK Edge Hold Time	t <sub>HCNVSCK</sub>	0			ns
CNV Falling Edge to SCK Active Edge Setup Time	t <sub>SCNVSCK</sub>	6			ns

<sup>1</sup> ターボ・モードでは、t<sub>CNVH</sub> と最小 t<sub>QUIETI</sub> が一致する必要があります。

表 4. 各動作モードで可能なスループット

Parameter	Test Conditions/Comments	Min	Typ	Max	Unit
THROUGHPUT, CS MODE					
3-Wire and 4-Wire Turbo Mode	f <sub>SCK</sub> = 100 MHz, VIO ≥ 2.7 V f <sub>SCK</sub> = 80 MHz, VIO < 2.7 V		2		MSPS
3-Wire and 4-Wire Turbo Mode and Six Status Bits	f <sub>SCK</sub> = 100 MHz, VIO ≥ 2.7 V f <sub>SCK</sub> = 80 MHz, VIO < 2.7 V		2		MSPS
3-Wire and 4-Wire Mode	f <sub>SCK</sub> = 100 MHz, VIO ≥ 2.7 V f <sub>SCK</sub> = 80 MHz, VIO < 2.7 V		1.86		MSPS
3-Wire and 4-Wire Mode and Six Status Bits	f <sub>SCK</sub> = 100 MHz, VIO ≥ 2.7 V f <sub>SCK</sub> = 80 MHz, VIO < 2.7 V		1.82		MSPS
	f <sub>SCK</sub> = 100 MHz, VIO ≥ 2.7 V f <sub>SCK</sub> = 80 MHz, VIO < 2.7 V		1.69		MSPS
	f <sub>SCK</sub> = 100 MHz, VIO ≥ 2.7 V f <sub>SCK</sub> = 80 MHz, VIO < 2.7 V		1.64		MSPS
			1.5		MSPS

## 絶対最大定格

入力過電圧クランプで過電圧状態を無期限に保つことはできません。

表 5.

Parameter	Rating
Analog Inputs IN+, IN- to GND <sup>1</sup>	-0.3 V to $V_{REF} + 0.4$ V or $\pm 130$ mA <sup>2</sup>
Supply Voltage REF, VIO to GND	-0.3 V to +6.0 V
VDD to GND	-0.3 V to +2.1 V
VDD to VIO	-6 V to +2.4 V
Digital Inputs to GND	-0.3 V to VIO + 0.3 V
Digital Outputs to GND	-0.3 V to VIO + 0.3 V
Storage Temperature Range	-65°C to +150°C
Junction Temperature	150°C
Lead Temperature Soldering	260°C reflow as per JEDEC J-STD-020
ESD Ratings Human Body Model	4 kV
Machine Model	200 V
Field Induced Charged Device Model	1.25 kV

<sup>1</sup> IN+ および IN- の説明については、アナログ入力セクションを参照してください。

<sup>2</sup> 電流の条件は、10 ms 間隔でテストされています。

上記の絶対最大定格を超えるストレスを加えると、デバイスに恒久的な損傷を与えることがあります。この規定はストレス定格のみを指定するものであり、この仕様の動作のセクションに記載する規定値以上でのデバイス動作を定めたものではありません。デバイスを長時間にわたり絶対最大定格状態に置くと、デバイスの信頼性に影響を与えることがあります。

## 熱抵抗

熱性能は、プリント回路基板 (PCB) の設計と動作環境に直接関連しています。PCB の熱設計には、細心の注意を払う必要があります。

表 6. 热抵抗

Package Type <sup>1</sup>	$\theta_{JA}$ <sup>2</sup>	$\theta_{JC}$ <sup>3</sup>	Unit
RM-10	147	38	°C/W
CP-10-9	114	33	°C/W

<sup>1</sup> テスト条件 1: 热抵抗のシミュレーション値は、2S2P JEDEC PCB の使用によって決定します。オーダー・ガイドを参照してください。

<sup>2</sup>  $\theta_{JA}$  は、1 立方フィートの密封容器内で測定された、自然対流下におけるジャンクションと周囲温度の間の熱抵抗です。

<sup>3</sup>  $\theta_{JC}$  は、ジャンクションとケースの間の熱抵抗です。

## ESD に関する注意



ESD (静電放電) の影響を受けやすいデバイスです。電荷を帯びたデバイスや回路ボードは、検知されないまま放電することがあります。本製品は当社独自の特許技術である ESD 保護回路を内蔵していますが、デバイスが高エネルギーの静電放電を被った場合、損傷を生じる可能性があります。したがって、性能劣化や機能低下を防止するため、ESD に対する適切な予防措置を講じることをお勧めします。

## ピン配置およびピン機能の説明

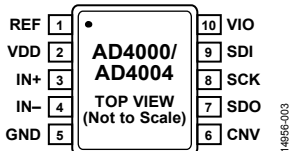


図 3. 10 ピン MSOP のピン配置

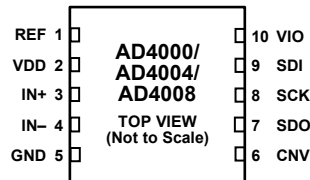


図 4. 10 ピン LFCSP のピン配置

表 7. ピン機能の説明

ピン番号	記号	タイプ <sup>1</sup>	説明
1	REF	AI	リファレンス入力電圧。 $V_{REF}$ 範囲は 2.4 V ~ 5.1 V です。このピンは GND ピンと呼ばれ、10 $\mu$ F の X7R セラミック・コンデンサで GND ピンの近くにデカップリングする必要があります。
2	VDD	P	$\pm 1.8$ V 電源。VDD の範囲は 1.71 V ~ 1.89 V です。0.1 $\mu$ F のセラミック・コンデンサを使用して、VDD を GND にバイパスします。
3	IN+	AI	アナログ入力。この入力は、アナログ・グラウンド検出ピン (IN-) を基準にします。デバイスは、CNV の立上がりエッジの IN+ と IN- の間の電圧差をサンプリングします。IN+ - IN- の動作入力範囲は 0 V ~ $V_{REF}$ 。
4	IN-	AI	アナログ入力のグラウンド・センス。このピンはアナログ・グラウンド・プレーンまたはリモート・センス・グラウンドに接続します。
5	GND	P	電源グラウンド
6	CNV	DI	入力変換。この入力には、複数の機能があります。立上がりエッジでは、変換を開始して、デバイスのインターフェース・モードをデイジーチェーン・モードまたは CS モードから選択します。CS モードでは、CNV がローの場合に SDO ピンがイネーブルになります。デイジーチェーン・モードでは、CNV がハイの場合にデータの読み出しが実行されます。
7	SDO	DO	シリアル・データ出力。変換結果はこのピンに出力されます。SCK に同期されます。
8	SCK	DI	シリアル・データ・クロック入力。デバイスを選択すると、変換結果はこのクロックによってシフト出力されます。
9	SDI	DI	シリアル・データ入力。この入力には、複数の機能があります。ADC のインターフェース・モードを次のように選択します。 CNV 立上がりエッジの発生時に SDI がローの場合、デイジーチェーン・モードが選択されます。このモードでは、SDI がデータ入力として使用され、2つ以上の ADC の変換結果が 1 本の SDO ラインでデイジーチェーン接続されます。SDI のデジタル・データ・レベルは、16 SCK サイクルの遅延で SDO に出力されます。 CNV 立上がりエッジの発生時に SDI がハイの場合、CS モードが選択されます。このモードでは、SDI または CNV がローの場合に、シリアル出力信号を有効にできます。SDI または CNV がローの場合、変換が完了すると、ビギー・インジケータ機能が有効になります。CNV がローの場合、SCK の立ち上がりエッジの発生時に、SDI で 16 ビット・ワードをクロック入力してプログラムできます。
10	VIO	P	入出力インターフェースのデジタル電源。通常、このピンはホスト・インターフェースと同じ電源 (1.8 V、2.5 V、3 V、または 5 V) 0.1 $\mu$ F のセラミック・コンデンサで VIO を GND へバイパスします。
N/A <sup>2</sup>	EPAD	P	露出パッド (LFCSP のみ)。露出パッドは GND に接続します。この接続がなくても、仕様規定されている性能を満たすことができます。

<sup>1</sup> AI はアナログ入力、P は電源、DI はデジタル入力、DO はデジタル出力です。<sup>2</sup> N/A は該当なしを意味します。

## 代表的な性能特性

特に指定のない限り、VDD = 1.71 V ~ 1.89 V、VIO = 1.71 V ~ 5.5 V、V<sub>REF</sub> = 5 V、すべての仕様で T<sub>MIN</sub> ~ T<sub>MAX</sub>、高インピーダンス・モードは無効、スパン圧縮は無効、ターボ・モードは有効、AD4000 で f<sub>s</sub> = 2 MSPS、AD4004 で f<sub>s</sub> = 1 MSPS、AD4008 で f<sub>s</sub> = 500 kSPS。

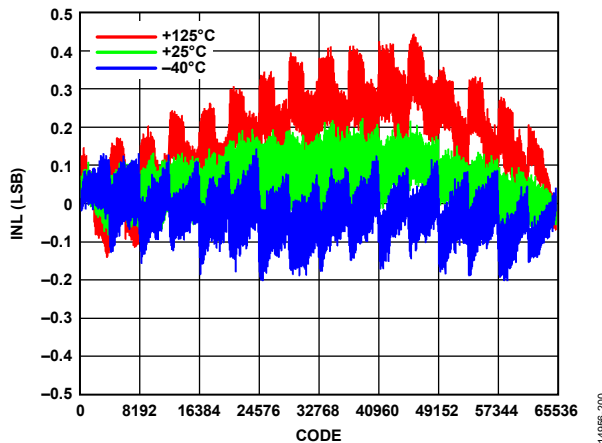


図 5. 多様な温度での INL とコードの関係、V<sub>REF</sub> = 5 V

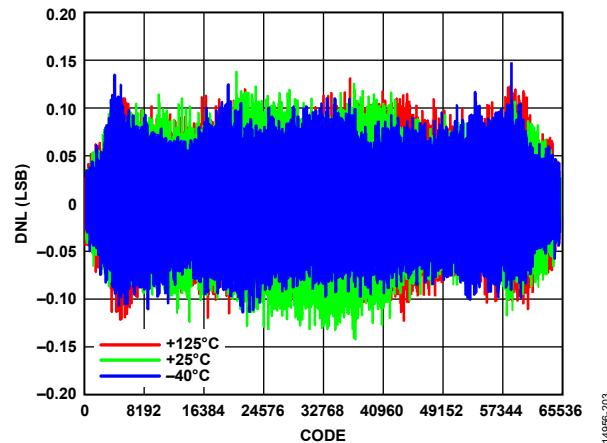


図 8. 多様な温度での DNL とコードの関係、V<sub>REF</sub> = 5 V

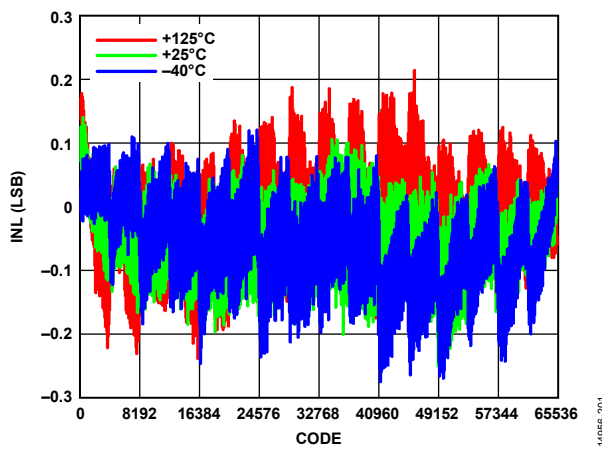


図 6. 多様な温度での INL とコードの関係、V<sub>REF</sub> = 2.5 V

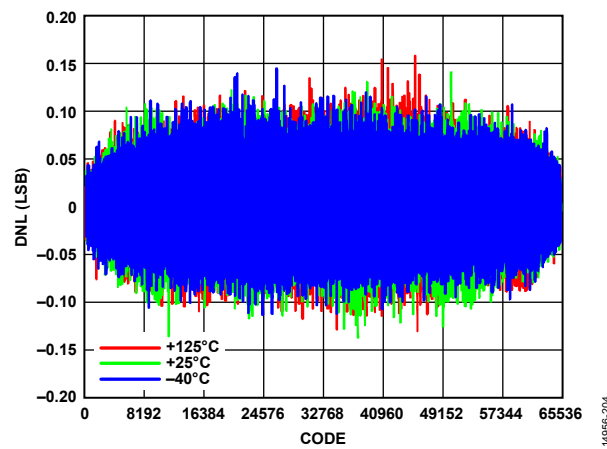


図 9. 多様な温度での DNL とコードの関係、V<sub>REF</sub> = 2.5 V

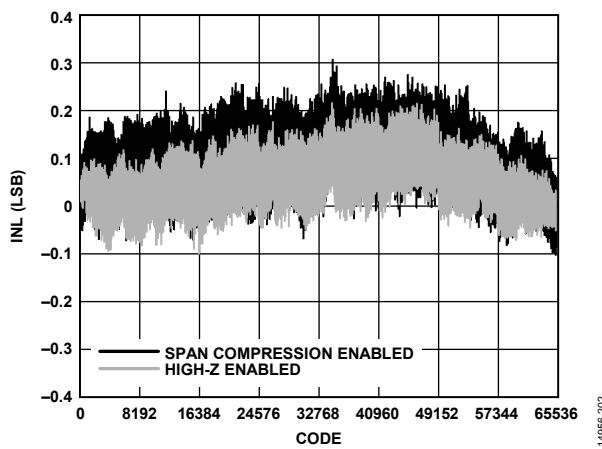


図 7. INL とコードの関係、高インピーダンス・モードとスパン圧縮モードを有効、V<sub>REF</sub> = 5 V

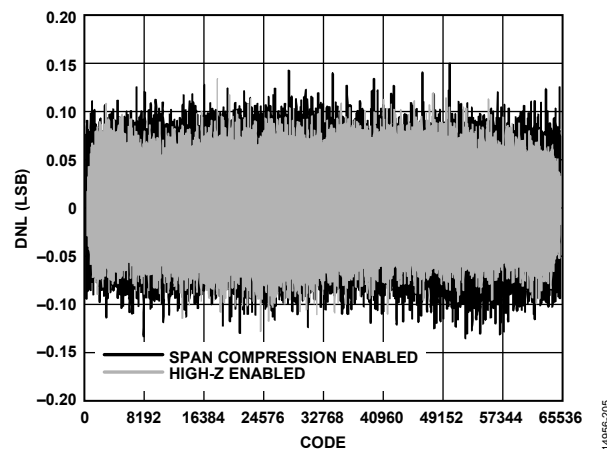


図 10. DNL とコードの関係、高インピーダンス・モードおよびスパン圧縮モードは有効、V<sub>REF</sub> = 5 V

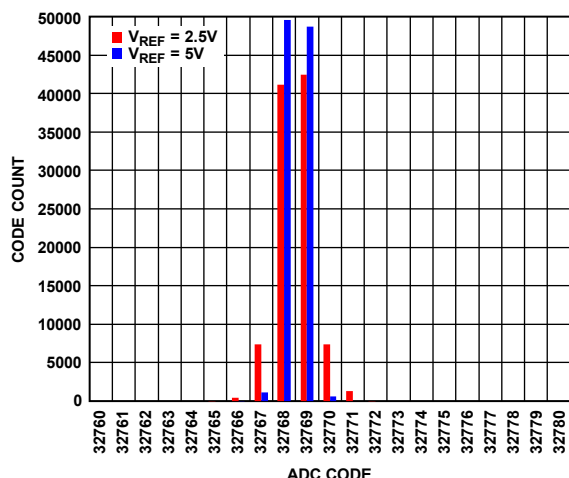


図 11. コード中央での DC 入力のヒストグラム、  
 $V_{REF} = 2.5\text{ V}$  および  $V_{REF} = 5\text{ V}$

14956-206

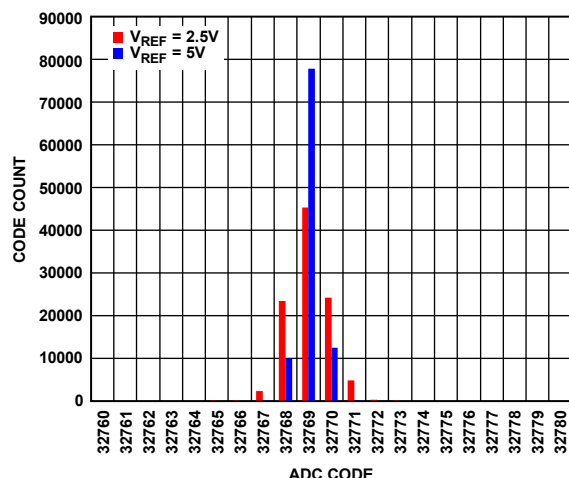


図 14. コード遷移での DC 入力のヒストグラム、  
 $V_{REF} = 2.5\text{ V}$  および  $V_{REF} = 5\text{ V}$

14956-209

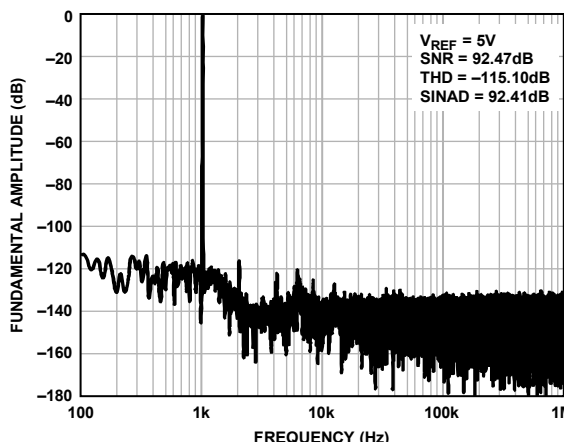


図 12. 1 kHz、-0.5 dBFS 入力トーン高速フーリエ変換 (FFT)、  
広視野、 $V_{REF} = 5\text{ V}$

14956-207

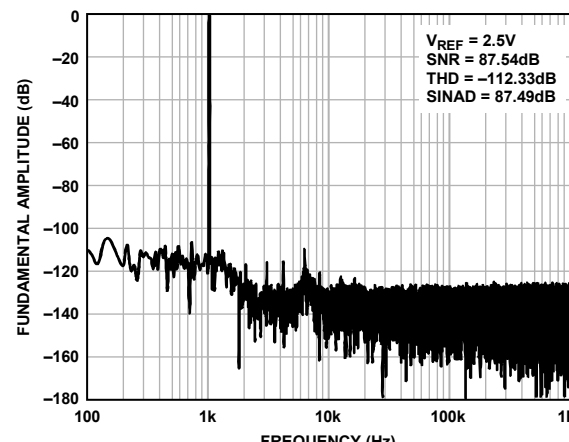


図 15. 1 kHz、-0.5 dBFS 入力トーン FFT、広視野、 $V_{REF} = 2.5\text{ V}$

14956-210

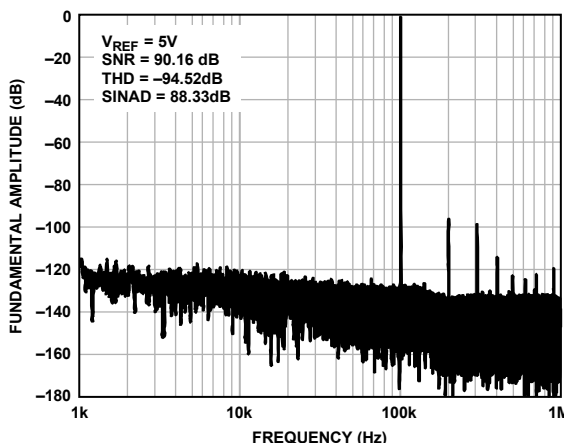


図 13. 100 kHz、-0.5 dBFS 入力トーン FFT、広視野

14956-211

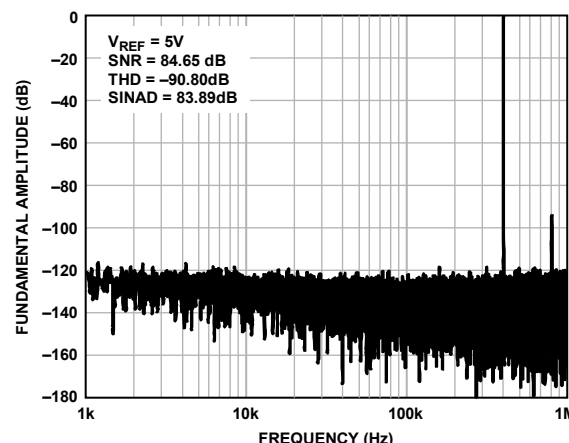


図 16. 400 kHz、-0.5 dBFS 入力トーン FFT、広視野

14956-208

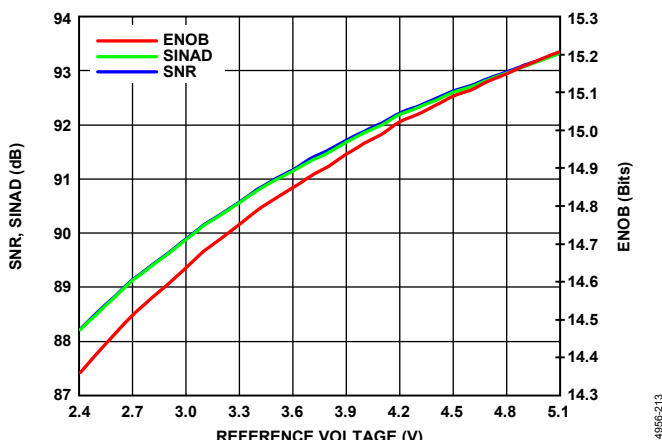


図 17. SNR、SINAD、有効ビット数 (ENOB) と  
リファレンス電圧の関係、 $f_{IN} = 1 \text{ kHz}$

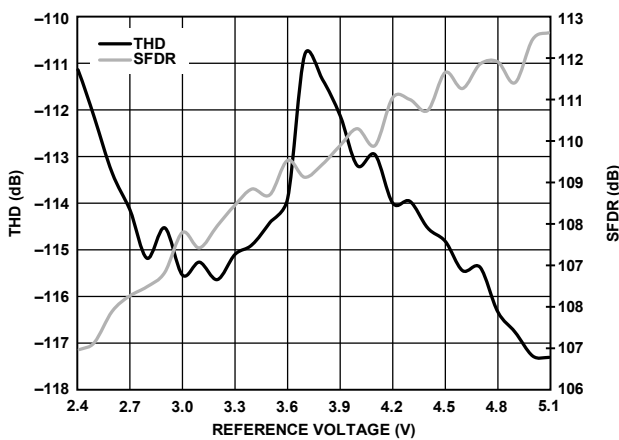


図 20. THD、SFDR とリファレンス電圧の関係、 $f_{IN} = 1 \text{ kHz}$

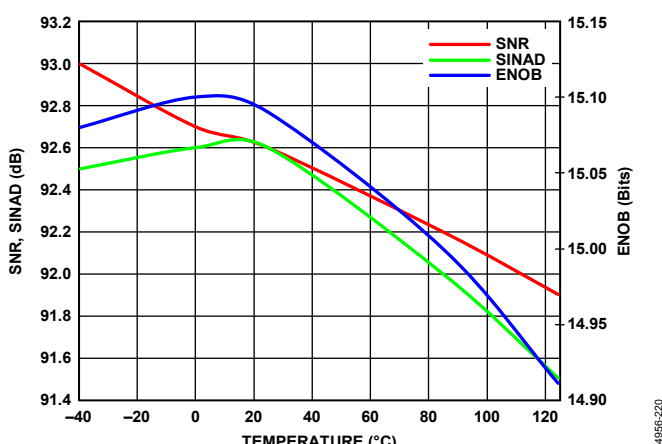


図 18. SNR、SINAD、ENOB と温度の関係、 $f_{IN} = 1 \text{ kHz}$

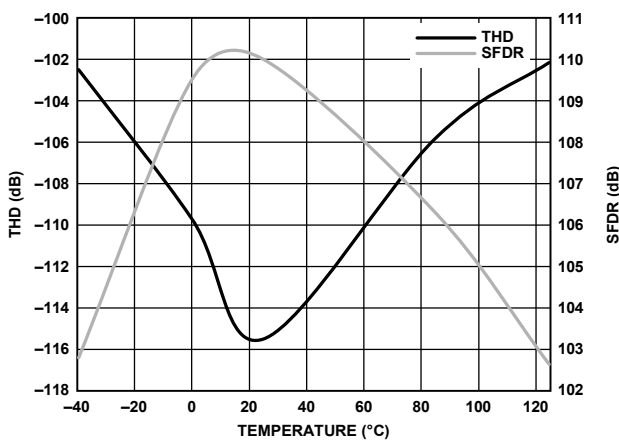


図 21. THD、SFDR と温度の関係、 $f_{IN} = 1 \text{ kHz}$

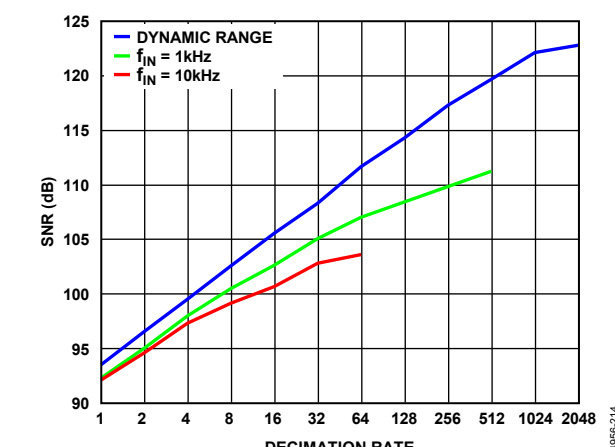


図 19. 多様な入力周波数でのデシメーション・レシオとSNRの  
関係、2 MSPS

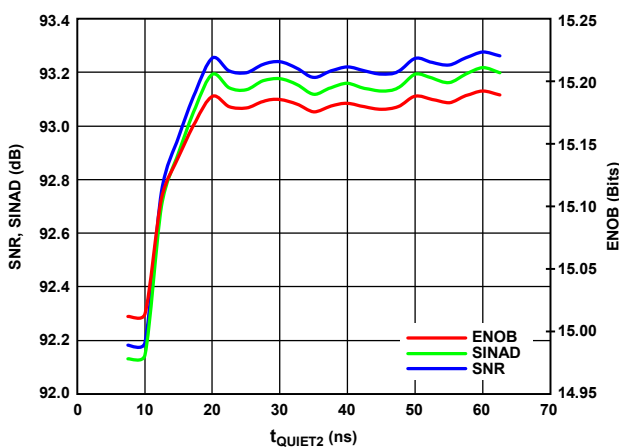


図 22. SNR、SINAD、ENOB と  $t_{QUIET2}$  の関係

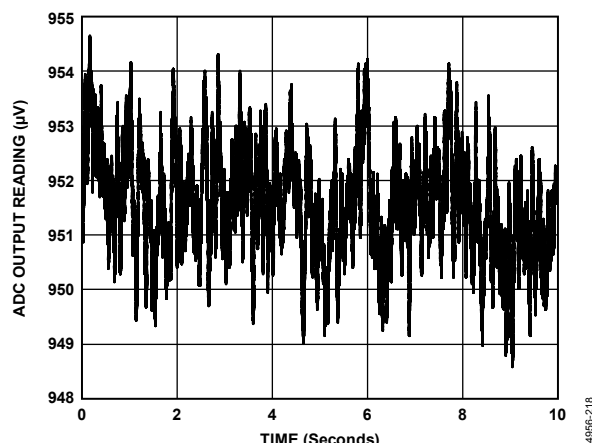


図 23. 0.1 Hz ~ 10 Hz 帯域幅の 1/f ノイズ、50 kSPS、1 回の読み出しで 2500 個のサンプルを平均化

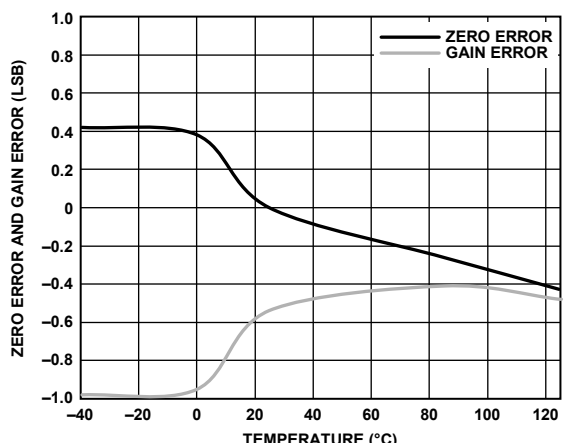


図 26. ゼロ誤差、ゲイン誤差と温度の関係

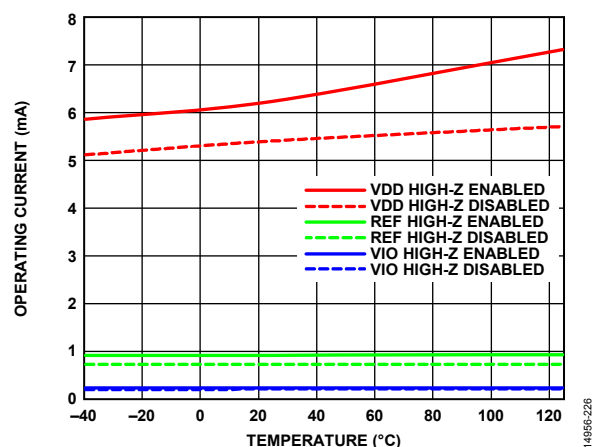


図 24. 動作電流と温度の関係、AD4000、2 MSPS

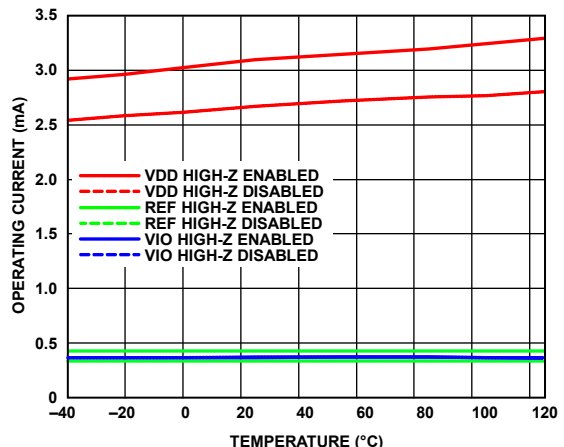


図 27. 動作電流と温度の関係、AD4004、1 MSPS

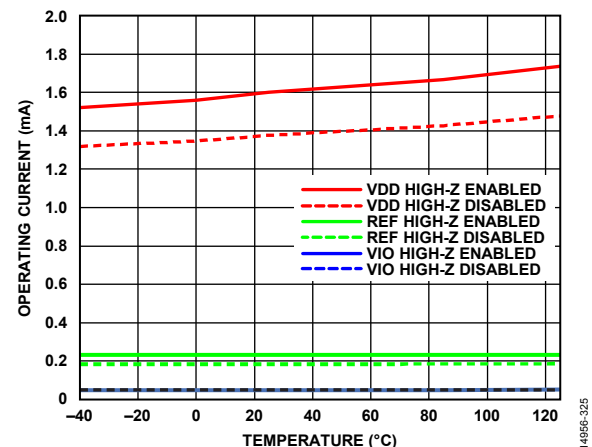


図 25. 動作電流と温度の関係、AD4008、500 kSPS

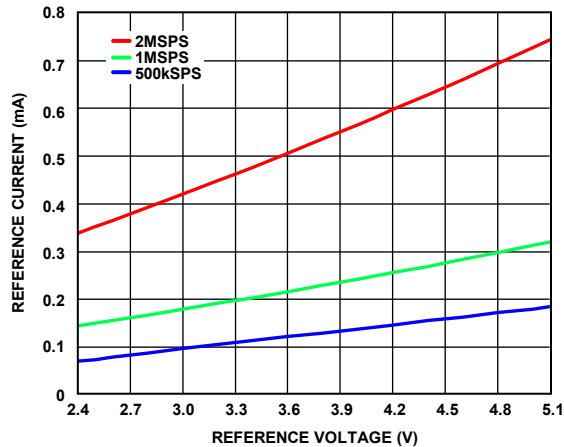


図 28. リファレンス電流とリファレンス電圧の関係

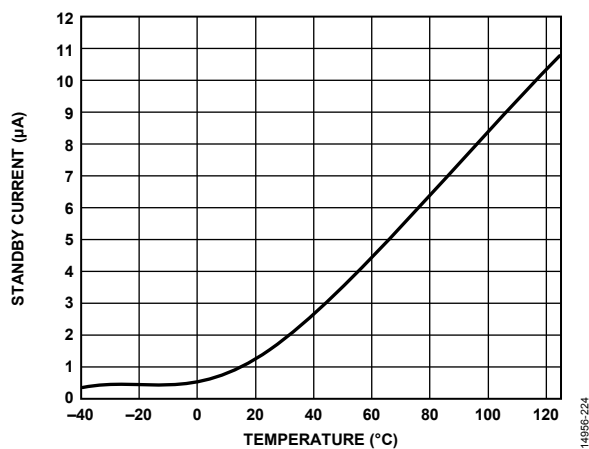
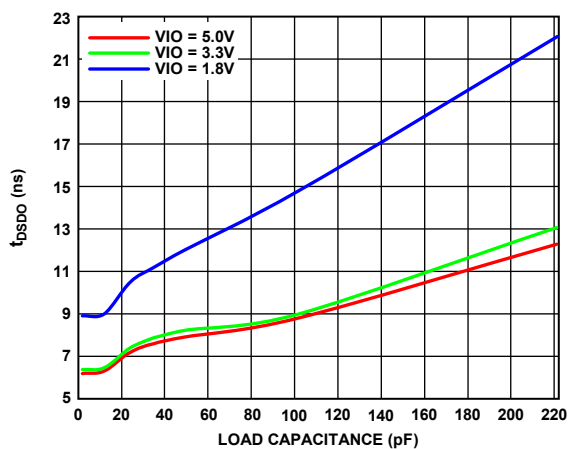


図 29. スタンバイ電流と温度の関係

図 30.  $t_{\text{DSDO}}$  と負荷容量の関係

## 用語の定義

### 積分非直線性誤差 (INL)

INL は、負のフルスケールと正のフルスケールを結ぶ直線と個々のコードとの偏差です。最初のコード遷移より  $\frac{1}{2}$  LSB だけ手前の点を負のフルスケールとして使います。正のフルスケールは、最後のコード遷移を  $1\frac{1}{2}$  LSB 上回ったレベルとして定義されます。偏差は各コードの中央から真の直線までの距離として測定されます（図 32 を参照）。

### 微分非直線性誤差 (DNL)

理想的な ADC では、コード遷移は 1 LSB だけ離れた位置で発生します。DNL とは、この理想値からの最大偏差のことです。これは多くの場合、ノー・ミス・コードの分解能で仕様規定されます。

### ゼロ誤差

ゼロ誤差は、最初のコード遷移で発生する理想的な電圧（アナログ・グラウンドより  $\frac{1}{2}$  LSB 高い）とコードを生成する実際の電圧との差です。

### ゲイン誤差

最初の遷移（100 ...00 から 100 ...01）は負の公称フルスケールより  $\frac{1}{2}$  LSB 上のレベル（ $\pm 5$  V の範囲で -4.999981 V）で発生します。最後の遷移（011 ... 10 から 011 ... 11）は、公称フルスケールより  $1\frac{1}{2}$  LSB 低いアナログ電圧（ $\pm 5$  V の範囲では +4.999943 V）で発生します。ゲイン誤差は、最後の遷移と最初の遷移に関する、理想的なレベル間の差から実際のレベル間の差の偏差です。

### スプリアスフリー・ダイナミック・レンジ (SFDR)

SFDR は、入力信号の rms 振幅とピーク・スプリアス信号との差です（単位はデシベル (dB)）。

### 有効ビット数 (ENOB)

ENOB は、サイン波入力による分解能の測定値です。次のように SINAD を使用して計算します。

$$\text{ENOB} = (\text{SINAD}_{\text{dB}} - 1.76) / 6.02$$

ENOB の単位はビットです。

### 全高調波歪み (THD)

THD は、フルスケール入力信号の rms 値に対する最初の 5 次高調波成分の rms 総和の比率で、単位はデシベルです。

### ダイナミック・レンジ

ダイナミック・レンジは、測定した合計 rms ノイズに対するフルスケールの rms 値の比率です。ダイナミック・レンジの単位はデシベルです。すべてのノイズ・ソースと DNL アーティファクトが含まれるように、-60 dBFS の信号で測定されます。

### S/N 比 (SNR)

SNR は、ナイキスト周波数を下回るすべてのスペクトル成分（高調波成分と直流成分を除く）の rms 総和に対する実際の入力信号の rms 値の比です。SNR の単位はデシベルです。

### 信号ノイズ + 歪み (SINAD)

SINAD は、ナイキスト周波数を下回るすべてのスペクトル成分の rms 総和（高調波成分は含むが、直流成分と入力信号は除く）に対する実際の入力信号の rms 値の比です。SINAD の単位はデシベルです。

### アパー・チャ・遅延

アパー・チャ・遅延は、アクイジション性能の測定値です。CNV 入力の立上がりエッジと入力信号が変換のために保持される間の時間です。

### 過渡応答

過渡応答は、 $\pm 0.5$  LSB の精度でフルスケール入力ステップを達成するのに必要な時間です。

### 電源電圧変動除去比 (PSRR)

PSRR は、周波数 f での ADC VDD 電源に加えられた 200 mV p-p サイン波の電力に対する周波数 f での ADC 出力電力の比です。

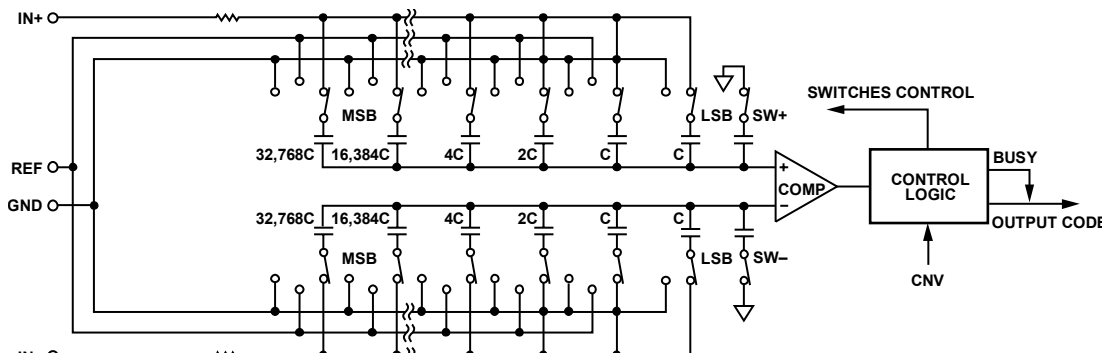
$$\text{PSRR} (\text{dB}) = 10 \log (P_{VDD\_IN}/P_{ADC\_OUT})$$

ここで、

$P_{VDD\_IN}$  は、周波数 f での VDD ピンの電力。

$P_{ADC\_OUT}$  は、周波数 f での ADC の出力電力。

## 動作原理



14955-006

図 31. ADC の簡略化した回路図

## 回路説明

AD4000/AD4004/AD4008 は、SAR アーキテクチャに基づいた、高速、低消費電力、单電源、高精度の 16 ビット疑似差動 ADC です。

AD4000 は 1 秒あたり 2,000,000 サンプルを変換でき (2 MSPS)、AD4004 は 1 秒あたり 1,000,000 サンプルを変換でき (1 MSPS)、AD4008 は 1 秒あたり 500,000 サンプルを変換できます (500 kSPS)。AD4000/AD4004/AD4008 は、変換を実行していない間は電力をオフにするので、消費電力はスループットに比例します。例えば、10 kSPS で動作させた場合、消費電力は通常、バッテリ駆動アプリケーションとして理想的な  $70 \mu\text{W}$  です。AD4000/AD4004/AD4008 では、長期間にわたるパワーダウン後の最初の変換が有効です。このため、ADC の変換が常に必要でないアプリケーションにおいて、消費電力をさらに抑えることができます。

AD4000/AD4004/AD4008 は、オンチップ・トラック&ホールド機能を備えています。また、パイプライン遅延などの遅延がないので、マルチプレクス・アプリケーションに最適です。

AD4000/AD4004/AD4008 では、独自の使いやすい機能を実装することで、システムの消費電力とフットプリントを低減しています。

AD4000/AD4004/AD4008 のそれぞれに、アナログ入力の過電圧による損傷からデバイスを保護する内部電圧クランプがあります。アナログ入力には、代表的なスイッチド・キャパシタ SAR 入力に見られる、非直線性チャージ・キックバックを減らす回路を実装しています。このキックバックの削減と長いアクイジション・フェーズを組み合わせると、駆動アンプでのセトリング条件が緩和されます。この組み合わせにより、帯域幅が狭く、消費電力が小さいアンプをドライバとして使用できます。さらに、入力 RC フィルタの大きな抵抗値とそれに対応する小さなコンデンサを利用できるという利点もあります。この結果、アンプの RC 負荷が小さくなり、安定性と消費電力が向上します。

レジスタ・ビットをプログラミングすることで、SPI インターフェースを高インピーダンス・モードで有効にできます(表 14 を参照)。高インピーダンス・モードを有効にすると、ADC 入力の充電電流と信号周波数が低くなり、最大 100 kHz の広い周波数での歪みが改善されます。100 kHz を超える周波数とマルチプレクスでは、高インピーダンス・モードを無効にしてください。

单電源アプリケーションでは、スパン圧縮機能により、駆動アンプが ADC の全範囲にアクセスするため、ヘッドルームとフットルームが余分に形成されます。

AD4000/AD4004/AD4008 の高速変換とターボ・モードにより、それぞれの最大スループット・レートで動作する場合でも、低いクロック・レートで変換をリードバックできます。AD4000 の場合、2 MSPS のフルスループット・レートは、ターボ・モードでのみ実現できます。

AD4000/AD4004/AD4008 は、1.8 V ~ 5 V のデジタル・ロジック・ファミリーのすべての製品に接続できます。10 ピン MSOP またはスペースの節約と柔軟な設定が可能な小さい 10 ピン LFCSP を用意しています。

AD4000/AD4004/AD4008 は、表 8 にある 14/16/18/20 ビットの高精度 SAR ADC とのピン互換を実現するピンです。

表 8. MSOP、LFCSP 14/16/18/20 ビットの高精度 SAR ADC

Bits	100 kSPS	250 kSPS	400 kSPS to 500 kSPS	$\geq 1000$ kSPS
20 <sup>1</sup>				AD4020 <sup>2</sup>
18 <sup>1</sup>	AD7989-1 <sup>2</sup>	AD7691 <sup>2</sup>	AD4011 <sup>2</sup> , AD7690 <sup>2</sup> , AD7989-5 <sup>2</sup>	AD4003 <sup>2</sup> , AD4007 <sup>2</sup> , AD7982 <sup>2</sup> , AD7984 <sup>2</sup>
16 <sup>1</sup>	AD7684	AD7687 <sup>2</sup>	AD7688 <sup>2</sup> , AD7693 <sup>2</sup> , AD7916 <sup>2</sup>	AD4001 <sup>2</sup> , AD4005 <sup>2</sup> , AD7915 <sup>2</sup>
16 <sup>3</sup>	AD7680, AD7683, AD7988-1 <sup>2</sup>	AD7685 <sup>2</sup> , AD7694	AD7686 <sup>2</sup> , AD7988-5 <sup>2</sup> , AD4008 <sup>2</sup>	AD4000 <sup>2</sup> , AD4004 <sup>2</sup> , AD7980 <sup>2</sup> , AD7983 <sup>2</sup>
14 <sup>3</sup>	AD7940	AD7942	AD7946 <sup>2</sup>	Not applicable

<sup>1</sup> 真の差動。

<sup>2</sup> ピン互換用のピン。

<sup>3</sup> 疑似差動。

## コンバータの動作

AD4000/AD4004/AD4008 は、電荷再配分式サンプリング D/A コンバータ (DAC) を使用した SAR ベースの ADC です。図 31 に、ADC の簡略化した回路図を示します。容量性 DAC は、16 個のバイナリの重み付けされたコンデンサからなる 2 つの同一アレイで構成されており、アレイはコンパレータ入力に接続されています。

アクイジション・フェーズ中、コンパレータの入力に接続されたアレイの端子は、SW+ スイッチと SW- スイッチ経由で GND に接続されます。独立したスイッチを使用して、各コンデンサの他の端子をアナログ入力に接続します。コンデンサのアレイをサンプリング・コンデンサとして使用して、IN+ 入力と IN- 入力のアナログ信号を取得できます。

アクイジション・フェーズが完了し、CNV 入力がハイになると、変換フェーズが開始されます。変換フェーズが開始すると、SW+ と SW- が最初にオープンになります。次に、2 つのコンデンサ・アレイが入力から切断され、GND 入力に接続されます。アクイジション・フェーズの最後に収集される IN+ と IN- の間の差動電圧がコンパレータの入力に印加され、コンパレータが不均衡状態になります。GND と V<sub>REF</sub> の間にあるコンデンサ・アレイの各要素を切り替えることで、コンパレータの入力値はバイナリの重み付けされた電圧ステップ ( $V_{REF}/2$ 、 $V_{REF}/4$ 、...、 $V_{REF}/65,536$ ) によって変化します。コントロール・ロジックはこれらのスイッチを切り替え、MSB からコンパレータを均衡状態に戻します。このプロセスの完了後、コントロール・ロジックは ADC 出力コードとビジー信号インジケータを生成します。

表 9. 出力コードと入力電圧の理論値

Description	Analog Input, $V_{REF} = 5 \text{ V}$	$V_{REF} = 5 \text{ V}$ with Span Compression Enabled (V)	Digital Output Code
FSR - 1 LSB	4.999924 V	4.499939	0xFFFF <sup>1</sup>
Midscale + 1 LSB	2.500076 V	2.500061	0x8001
Midscale	2.5 V	2.5	0x8000
Midscale - 1 LSB	2.499924 V	2.499939	0x7FFF
-FSR + 1 LSB	76.3 μV	0.50006103	0x0001
-FSR	0 V	0.5	0x0000 <sup>2</sup>

<sup>1</sup> この出力コードはオーバーレンジ・アナログ入力のコードです（スパン圧縮が無効の場合は、 $V_{REF}$  を  $V_{IN+} - V_{IN-}$  だけ上回り、スパン圧縮が有効の場合は、 $0.9 \times V_{REF}$  だけ上回る）。

<sup>2</sup> この出力コードはアンダーレンジ・アナログ入力のコードです（スパン圧縮が無効の場合は、 $V_{REF}$  を  $V_{IN+} - V_{IN-}$  だけ下回り、スパン圧縮が有効の場合は、 $0.1 \times V_{REF}$  だけ下回る）。

AD4000/AD4004/AD4008 には変換クロックが内蔵されているので、変換プロセスでシリアル・クロック SCK は必要ありません。

## 伝達関数

AD4000/AD4004/AD4008 の理想的な伝達特性を図 32 と Table 9 に示します。

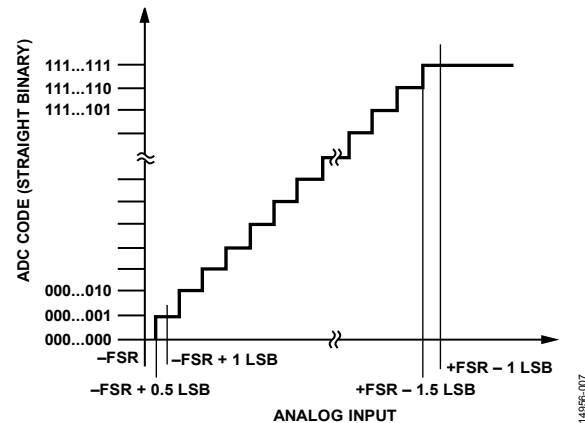
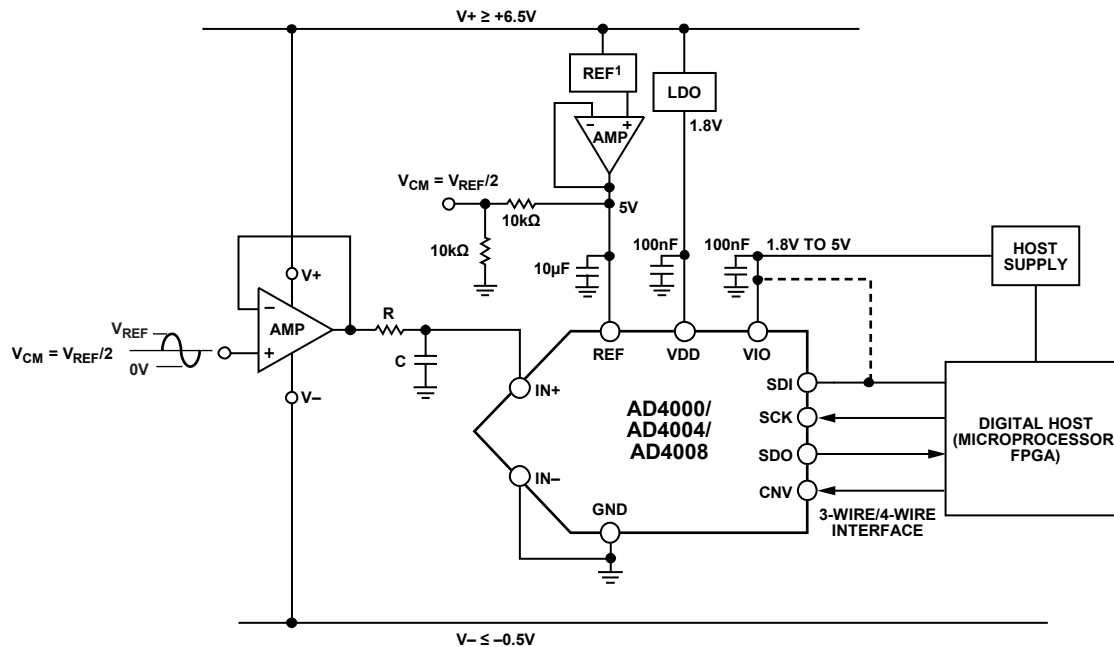


図 32. ADC の理想的な伝達関数 (FSR はフルスケール範囲)

## アプリケーション情報

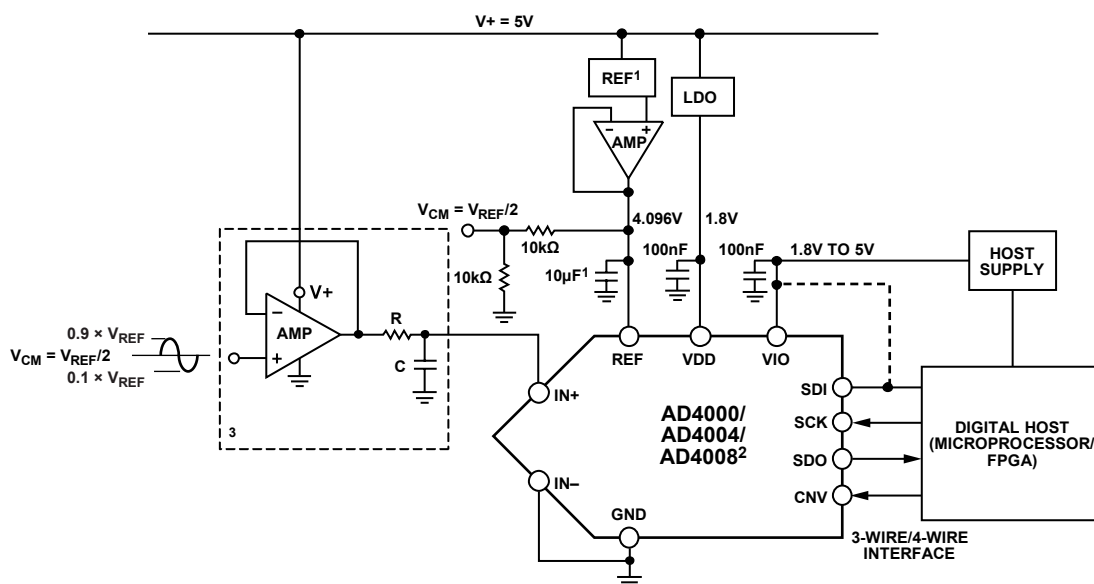
### 代表的なアプリケーション図

図33に、複数の電源を使用できる場合のAD4000/AD4004/AD4008の推奨接続図の例を示します。この構成を使用すると、最大信号範囲を実現するアンプ電力を選択できるので、最高の性能を達成できます。



14956-008

図33. 複数の電源を使用する場合の代表的なアプリケーション図



14956-009

<sup>1</sup>SEE THE VOLTAGE REFERENCE INPUT SECTION FOR REFERENCE SELECTION. C<sub>REF</sub> IS USUALLY A 10μF CERAMIC CAPACITOR (X7R).

<sup>2</sup>SPAN COMPRESSION MODE ENABLED.

<sup>3</sup>SEE TABLE 10 FOR RC FILTER AND AMPLIFIER SELECTION.

図34. 単電源を使用する場合の代表的なアプリケーション図

## アナログ入力

図 35 に、AD4000/AD4004/AD4008 の過電圧クランプを含むアナログ入力構造の等価回路を示します。

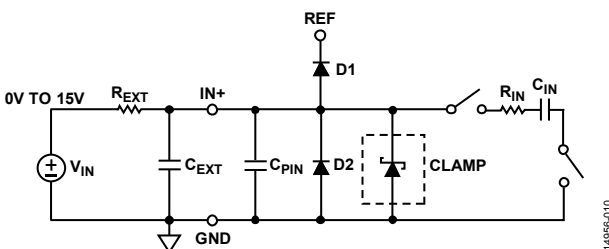


図 35. アナログ入力の等価回路

## 入力過電圧クランプ回路

ほとんどの ADC アナログ入力 IN+ と IN- には、ESD 保護ダイオードの他に、過電圧保護回路はありません。過電圧が発生すると、アナログ入力ピン (IN+ または IN-) と REF 順方向バイアスの間に接続された ESD 保護ダイオードによって、入力ピンが REF に短絡されるので、リファレンスの過電圧やデバイスの損傷が発生する可能性があります。AD4000/AD4004/AD4008 は、内部過電圧クランプ回路と大きな外部抵抗 ( $R_{EXT} = 200 \Omega$ ) を備えているので、外部保護ダイオードが不要になり、ADC 入力を DC 過電圧から保護します。

アンプ・レールが  $V_{REF}$  よりも大きく、グラウンドよりも小さいアプリケーションでは、出力がデバイスの入力電圧を超える場合があります。この場合、AD4000/AD4004/AD4008 の内部電圧クランプ回路は、入力電圧を安全な動作範囲にクランプし、リファレンスの外乱を防ぐことで、入力ピンの電圧が  $V_{REF} + 0.4 \text{ V}$  を超えないようにしてデバイスの損傷を防ぎます。この機能は複数の ADC でリファレンスを共有するシステムで特に重要です。

アナログ入力がリファレンス電圧を  $0.4 \text{ V}$  超えると、内部クランプ回路がオンになり、電流がクランプからグラウンドに流れるので、入力の上昇によるデバイスの損傷を防止できます。クランプは D1 の前でオンになり (図 35 を参照)、最大  $50 \text{ mA}$  の電流をシンクできます。

クランプがアクティブな場合、リードバックできるレジスタで過電圧 ( $\text{OV}$ ) クランプ・フラグのビットが設定されます (表 14 を参照)。これは読み出しでクリアする必要のあるスティッキー・ビットです。過電圧クランプ・フラグを使用すれば、ステータス・ビットでも  $\text{OV}$  クランプのステータスを確認できます (表 15 を参照)。

クランプ回路は、オフの状態では静的電力を消費しません。クランプで過電圧状態を無期限に保つことはできません。

通常、ADC 入力には外部 RC フィルタが適用され、入力信号の帯域が制限されます。過電圧時に、超過電圧は  $R_{EXT}$  で降下し、 $R_{EXT}$  は保護回路の一部になります。 $R_{EXT}$  値は  $15 \text{ V}$  の保護のために  $200 \Omega \sim 20 \text{ k}\Omega$  の間で変化します。クランプを正常に動作させるため、 $C_{EXT}$  値を  $100 \text{ pF}$  まで下げるすることができます。入力過電圧クランプの仕様については、表 1 を参照してください。

アナログ入力構造により、IN+ と IN- の間の真の差動信号のサンプリングが可能になります。これらの差動入力を使用すると、両方の入力に共通する信号が除去されます。IN- を使用してリモート信号グラウンドを検出することで、センサーとローカル ADC グラウンド間のグラウンド電位差は除去されます。

## スイッチド・キャパシタ入力

アクイジョン・フェーズ中、アナログ入力のインピーダンス (IN+ または IN-) は、 $R_{IN}$  と  $C_{IN}$  の直列接続によって形成されるネットワークおよびコンデンサ  $C_{PIN}$  の並列組み合わせとしてモデリングできます。 $C_{PIN}$  の大部分はピン容量です。通常、 $R_{IN}$  は  $400 \Omega$  で、直列抵抗とスイッチのオン抵抗で構成される集中定数コンポーネントです。通常、 $C_{IN}$  は  $40 \text{ pF}$  で、ADC のサンプリング・コンデンサです。

スイッチがオープンになる変換フェーズ中、入力インピーダンスは  $C_{PIN}$  に制限されます。 $R_{IN}$  と  $C_{IN}$  は、不要なエイリアシング効果を削減してノイズを抑える単極のローパス・フィルタを生成します。

## RC フィルタ値

RC フィルタの値 (図 33 と図 34 の R と C で表される) と駆動アンプは、フル・スループットで入力信号の帯域幅によって選択できます。入力信号の帯域幅を狭くすると、RC カットオフを減らすことができ、コンバータに混入するノイズを低減できます。さまざまなスループットで最適な性能を発揮するには、推奨される RC 値 ( $200 \Omega$ 、 $180 \text{ pF}$ ) と ADA4805-1 を使用します。

表 10 に示す RC 値を選択してドライブに関する要件を緩和し、ADC 入力保護を向上できます。大きな R 値 ( $200 \Omega$ ) と小さな C 値を組み合わせると、駆動するアンプの動的負荷が減少します。C の値を小さくすると、アンプの安定性/位相マージンに関する懸念事項が減ります。R の値を大きくすると、アンプの出力が ADC の入力範囲を超えた場合に ADC 入力に流れ込む電流が制限されます。

表 10. さまざまな入力帯域幅に対する RC フィルタとアンプの選択

Input Signal Bandwidth (kHz)	R ( $\Omega$ )	C (pF)	Recommended Amplifier
<10	See the High-Z Mode section	See the High-Z Mode section	See the High-Z Mode section
<200	200	180	ADA4805-1
>200	200	120	ADA4897-1
Multiplexed	200	120	ADA4897-1

## ドライバ・アンプの選択

AD4000/AD4004/AD4008は簡単に駆動できますが、ドライバ・アンプは次の条件を満たす必要があります。

- AD4000/AD4004/AD4008のS/N比と遷移ノイズ性能を維持するには、ドライバ・アンプによって生成されるノイズを低く抑える必要があります。ドライバから発生するノイズは、アナログ入力回路の $R_{IN}$ と $C_{IN}$ で構成される单極ローパス・フィルタ、または外付けフィルタ（使用した場合）によって除去されます。AD4000/AD4004/AD4008のノイズは37 $\mu$ V rms（代表値）であるため、アンプに起因するS/N比の性能低下は、次式で与えられます。

$$SNR_{LOSS} = 20 \log \left( \frac{37 \mu V}{\sqrt{(37 \mu V)^2 + \frac{\pi}{2} f_{-3dB} (Ne_N)^2}} \right)$$

ここで、

$f_{-3dB}$ はAD4000/AD4004/AD4008（10MHz）の入力帯域幅(MHz)、または入力フィルタのカットオフ周波数（使用する場合）。

$N$ はアンプのノイズ・ゲイン（例えば、バッファ構成では1）。 $e_N$ は、オペ・アンプの等価入力ノイズ電圧(nV/ $\sqrt{Hz}$ )。

- ACアプリケーションの場合、ドライバはAD4000/AD4004/AD4008に見合うTHD性能を発揮する必要があります。
- マルチチャンネルのマルチプレクサ・アプリケーションの場合、ドライバ・アンプとAD4000/AD4004/AD4008のアナログ入力回路は、コンデンサ・アレイへのフルスケール・ステップに対して16ビット・レベル（0.0001525%，15.25 ppm）でセトリングする必要があります。一般に、アンプのデータシートでは、0.1%～0.01%の設定が仕様規定されます。
- 16ビット・レベルでは、このセトリングの時間が大幅に異なる場合があるので、ドライバの選択前に検証する必要があります。

## 高周波の入力信号

5Vのリファレンス電圧を使用し、広い入力周波数範囲を超えるAD4000/AD4004/AD4008のAC性能を図36および図37に示します。従来のSAR ADCとは異なり、AD4000/AD4004/AD4008のAC性能はわずかに低下しますが、入力周波数に対する比類のないナイキスト周波数は維持されます。入力周波数は、使用されるサンプル・レートのナイキスト周波数に制限されます。

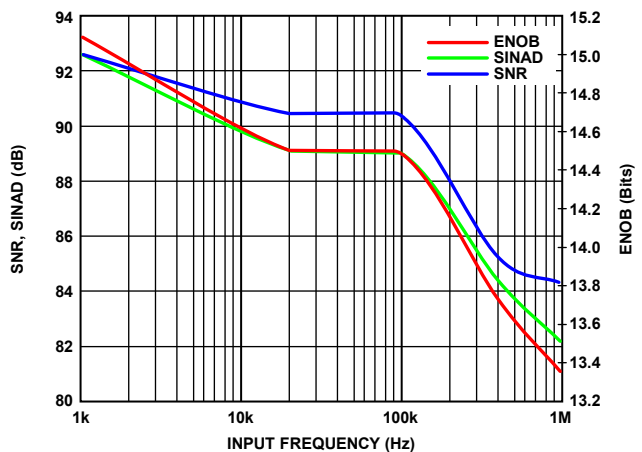


図36. S/N比、SINAD、有効ビット数と入力周波数の関係、  
VDD = 1.8 V、VIO = 3.3 V、VREF = 5 V、25 °C

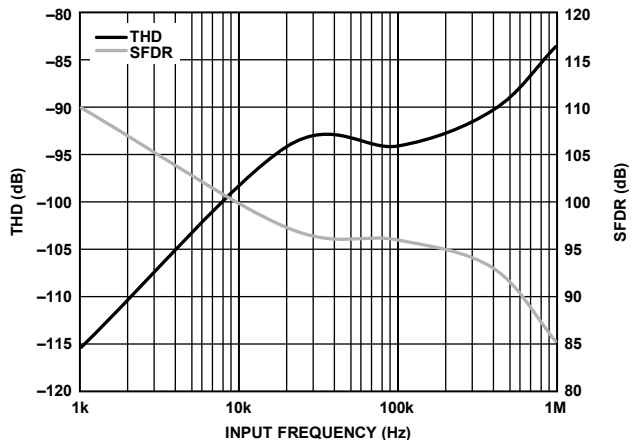


図37. THD、SFDRと入力周波数の関係、VDD = 1.8 V、  
VIO = 3.3 V、VREF = 5 V、25 °C

## マルチプレクス・アプリケーション

AD4000/AD4004/AD4008は、ノイズ、電力、スループットに関する優れた性能が必要なマルチプレクス・アプリケーションの複雑さを軽減し、コストを削減します。図38に、マルチプレクサ、ADC ドライバ、高精度 SAR ADC を含むマルチプレクス・データ・アクリジョン・システムの簡略ブロック図を示します。

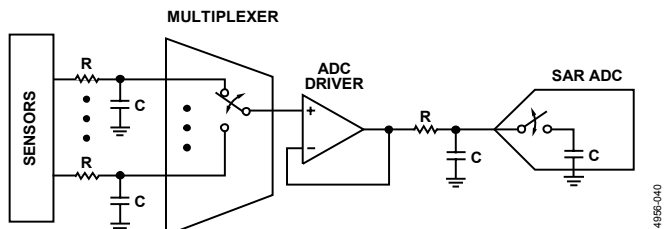


図38. AD4000/AD4004/AD4008を使用したマルチプレクス・データ・アクリジョン・シグナル・チェーン

通常、マルチプレクサ・チャンネルを切り替えると、ADC 入力で大きな電圧ステップが発生します。変換結果を正確にするには、ADC が入力をサンプリングする前に(CNV の立上がりエッジで)、ステップが安定するのに十分な時間を設定しておく必要があります。セトリング時間の誤差は、マルチプレクサ・チャンネルが切り替わった時のドライブ回路(マルチプレクサと ADC ドライバ)、RC フィルタ値、時間によって決定します。セトリング時間を最大限にして変換結果が破損しないように、変換の開始から  $t_{QUIETI}$  が経過した後に即座にマルチプレクサ・チャンネルを切り替えます。変換の破損を避けるため、 $t_{QUIETI}$  時間に中にチャンネルを切り替えないでください。ノイズのない変換( $t_{QUIETI}$ )中にアナログ入力がマルチプレクスされると、変換結果が破損することがあります。

## 簡単なドライブ機能

### 入力スパン圧縮

単電源アプリケーションでは、ADC の全範囲を使用することが望ましいですが、アンプにはヘッドルームとフットルームの条件があり、レール to レールの入出力アンプでも、問題が発生する可能性があります。AD4000/AD4004/AD4008 は、スパン圧縮機能を備えています。これにより、範囲の上下から入力範囲を 10% 削減することで、アンプが使用できるヘッドルームとフットルームを増やしながら、すべての ADC コードに引き続きアクセスできます(図 39 を参照)。スパン圧縮を有効にすると、削減された入力範囲で SNR は約 1.9 dB ( $20 \times \log(8/10)$ ) だけ減少します。デフォルトでは、スパン圧縮は無効になっていますが、関連するレジスタ・ビットに書き出しを実行することで有効になります(デジタル・インターフェースセクションを参照)。

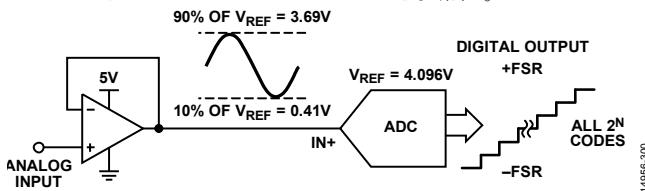


図 39. スパン圧縮

### 高インピーダンス・モード

AD4000/AD4004/AD4008 には、高インピーダンス・モードが組み込まれています。これにより、アクイジションの開始時にコンデンサの DAC が入力に切り替わるとき、非直線性のチャージ・キックバックが削減されます。図 40 に、高インピーダンス・モードを有効にした場合と無効にした場合の AD4000/AD4004/AD4008 の入力電流を示します。入力電流が低く、高インピーダンス・モードが無効な場合でも、市販されている従来型の SAR ADC よりも簡単に ADC を駆動できます。さらに、高インピーダンス・モードを有効にすると、入力電流はマイクロアンペア未満まで減ります。高インピーダンス・モードはデフォルトで無効ですが、レジスタに書き出しを実行することで有効になります(表 14 セクション)。100 kHz を超える周波数やマルチプレクスでは、高インピーダンス・モードを無効にしてください。

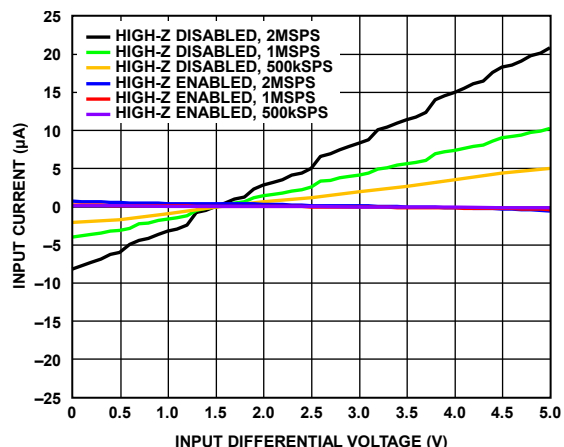


図 40. 入力電流と入力差動電圧の関係、 $V_{DD} = 1.8\text{ V}$ 、 $V_{IO} = 3.3\text{ V}$ 、 $V_{REF} = 5\text{ V}$ 、 $25^\circ\text{C}$

精度と分解能の高い SAR ADC の最適なデータシート性能を実現するようなアプリケーションを設計するには、専用の高出力、高速アンプを使用して従来型のスイッチド・キャパシタ SAR ADC 入力を駆動する必要があります。これは正確なデータ・アクイジション・シグナル・チェーンの設計中に一般的に発生します。低速(<10 kHz) または DC タイプの信号では入力電流が低くなり、最大 100 kHz までの周波数範囲では歪み(THD) 性能が改善することが、高インピーダンス・モードの利点です。高インピーダンス・モードを使用すると、低い RC フィルタ・カットオフで低電力、低帯域幅、高精度のアンプを選択できるので、専用の高速 ADC ドライバが不要になります。この結果、高精度、低帯域幅アプリケーションのシステム消費電力、サイズ、コストを節約できます。高インピーダンス・モードでは、スイッチド・キャパシタ SAR ADC 入力のセトリング条件ではなく、対象となる信号帯域幅に応じて、ADC の前段にあるアンプと RC フィルタを選択できます。

さらに、AD4000/AD4004/AD4008 では、従来型の SAR よりも高いソース・インピーダンスで駆動できます。つまり、RC フィルタなしの抵抗は、以前の SAR 設計よりも値が 10 倍高くなります。ここで、高インピーダンス・モードを有効にすると、さらに大きなインピーダンスに耐えることができます。図 41 に、高インピーダンス・モードが有効/無効な場合、さまざまなソース・インピーダンスでの THD 性能を示します。

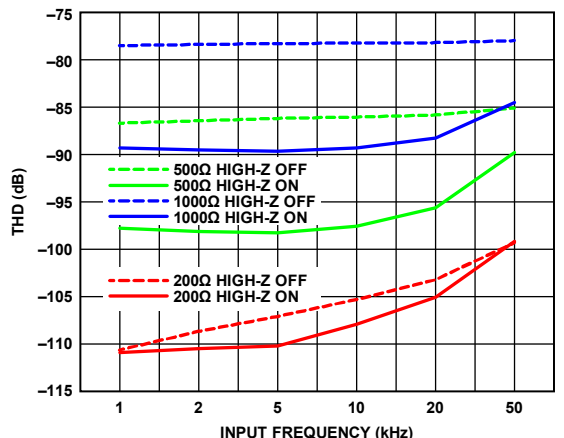


図 41. 各ソース・インピーダンスの THD と入力周波数の関係、 $V_{DD} = 1.8\text{ V}$ 、 $V_{IO} = 3.3\text{ V}$ 、 $V_{REF} = 5\text{ V}$ 、 $25^\circ\text{C}$

図 42 および図 43 に、ADA4077-1（アンプ当たりの電源電流 ( $I_{SY}$ ) = 400  $\mu$ A）、ADA4610-1（ $I_{SY}$  = 1.50 mA）高精度アンプを使用して、フル・スループットで AD4000/AD4004/AD4008 を駆動するときにさまざまな RC フィルタ値に対して高インピーダンス・モードが有効の場合と無効の場合の両方での AD4000/AD4004/AD4008 の S/N 比と THD 性能を示します。2.27 MHz RC 帯域幅でハイ Z を有効にすると、これらのアンプは 91 dB ~ 92 dB（代表値）の S/N 比と約 -100 dB の（代表値）THD を発揮します。200  $\Omega$  を超える大きな R 値でも、高インピーダンス・モードを有効にすると、THD が約 5 dB 向上します。RF フィルタ・カットオフが非常に低い場合でも、SNR は 85 dB 付近の値に維持されます。

高インピーダンス・モードを有効にすると、ADC は約 1 mW/MSPS の余分な電力を消費しますが、この消費量は ADA4807-1 などの専用の ADC ドライバを使用する場合よりも大幅に低くなります。フロント・エンドはシステムの種類に関係なく、シグナル・チャーン全体の AC/DC 性能を制限します。図 42 および図 43 に記載された高精度アンプのデータシートによると、特定の入力周波数でノイズと歪みの性能が S/N 比と THD の仕様に影響を与えることを示しています。

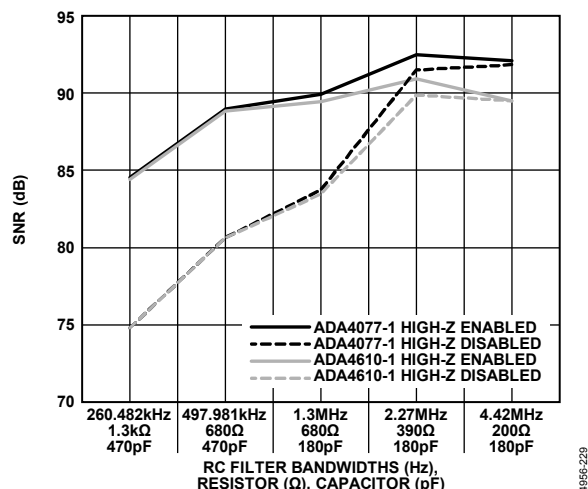


図 42. 各種の高精度 ADC ドライバの S/N 比と RC フィルタ帯域幅の関係、 $f_{IN} = 1 \text{ kHz}$ （ターボ・モードをオン、ハイ Z を有効／無効）、 $VDD = 1.8 \text{ V}$ 、 $VIO = 3.3 \text{ V}$ 、 $V_{REF} = 5 \text{ V}$ 、 $25^\circ\text{C}$   
14956-229

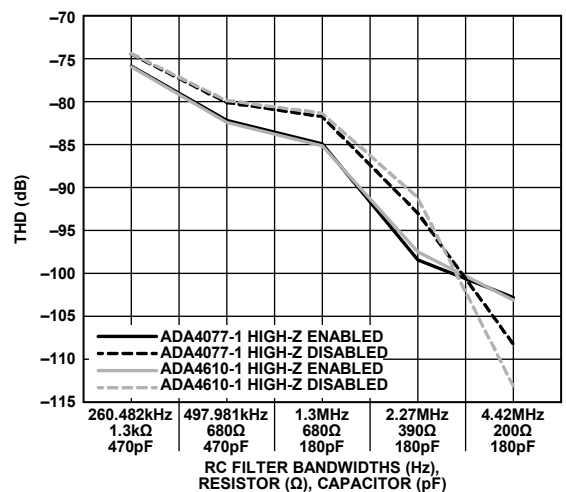


図 43. 各種の高精度 ADC ドライバの THD と RC フィルタ帯域幅の関係、 $f_{IN} = 1 \text{ kHz}$ （ターボ・モードをオン、ハイ Z を有効／無効）、 $VDD = 1.8 \text{ V}$ 、 $VIO = 3.3 \text{ V}$ 、 $V_{REF} = 5 \text{ V}$ 、 $25^\circ\text{C}$   
14956-231

### 長いアクイジション・フェーズ

AD4000/AD4004/AD4008 の変換時間は、290 ns と非常に短いため、アクイジション・フェーズが長くなります。アクイジションは、AD4000/AD4004/AD4008 の主な機能によってさらに延長されます。通常、ADC は変換が終わる 100 ns 前にアクイジション・フェーズに戻ります。この機能により、ADC が新しい入力電圧を取得する時間が長くなります。アクイジション・フェーズが長くなると、駆動アンプのセトリング条件が緩和されるので、消費電力／帯域幅の小さいアンプを選択できます。アクイジション・フェーズが長くなると、RC フィルタ（図 33 および図 34 の R と C で表される）のカットオフが低くなります。つまり、ノイズの大きなアンプも許容されます。RC フィルタで大きな R 値とそれに対応する小さな C 値を使用できることで、歪みの性能に大きな影響を与えずに、アンプの安定性に関する懸念事項を減らすことができます。R の値が大きくなると、アンプの動的消費電力も減ります。

RC フィルタの設定と適切なアンプの選択の詳細については、表 10 を参照してください。

### 電圧リファレンス入力

リファレンス入力の性能を最適に発揮するには、10  $\mu$ F (X7R、0805 サイズ) のセラミック・チップ・コンデンサが適しています。

高性能と低ドリフトを実現するには、ADR4550 などのリファレンスを使用します。ADR3450 などの低消費電力リファレンスを使用できますが、ノイズ性能がわずかに低下します。リファレンスと ADC リファレンス入力の間に ADA4807-1 などのリファレンス・バッファを配置することが推奨されます。リファレンス・バッファの安定性を維持し、このセクションで説明した ADC の最低条件を満たすためのコンデンサの最適サイズを考慮することが重要です（10  $\mu$ F のセラミック・チップ・コンデンサ、 $C_{REF}$ ）。

## 電源

AD4000/AD4004/AD4008 は、コア電源 (VDD) とデジタル入出力インターフェース電源 (VIO) の 2 つの電源ピンを使用します。VIO では、1.8 V ~ 5.5 V のあらゆるロジックと直接インターフェースを形成できます。1.8 V 動作では、システムのロジック・レベルに応じて VIO と VDD を接続することで、電源の数を削減できます。VDD ピンと VIO ピンに電力を供給するには、[ADP7118](#) の低ノイズ、CMOS、低ドロップアウト (LDO) リニア電圧レギュレータが推奨されます。AD4000/AD4004/AD4008 は、VIO と VDD 間の電源シーケンスに依存しません。さらに、AD4000/AD4004/AD4008 は、広い周波数範囲にわたって、電源の変動による影響を受けません (図 44 を参照)。

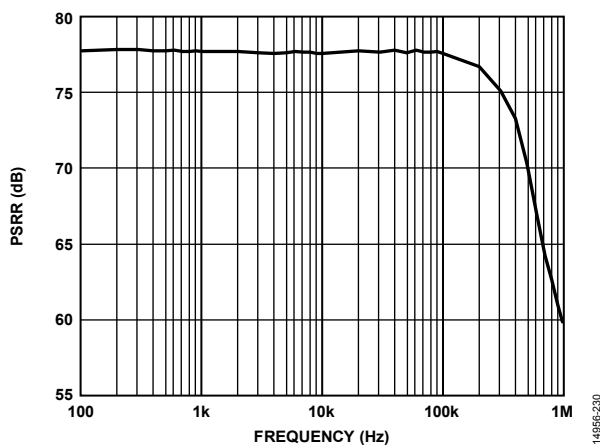


図 44. PSRR の周波数特性、VDD = 1.8 V、VIO = 3.3 V、  
V<sub>REF</sub> = 5 V、25 °C

AD4000/AD4004/AD4008 は各変換フェーズの終わりに自動的にパワーダウンします。このため、消費電力はサンプリング・レートに比例します。この機能により、低サンプリング・レートのアプリケーション (秒あたり数サンプルのものを含む) や、バッテリ駆動のアプリケーションに最適なデバイスとなっています。図 45 に、AD4000/AD4004/AD4008 の合計消費電力と各レールの消費電力を示します。

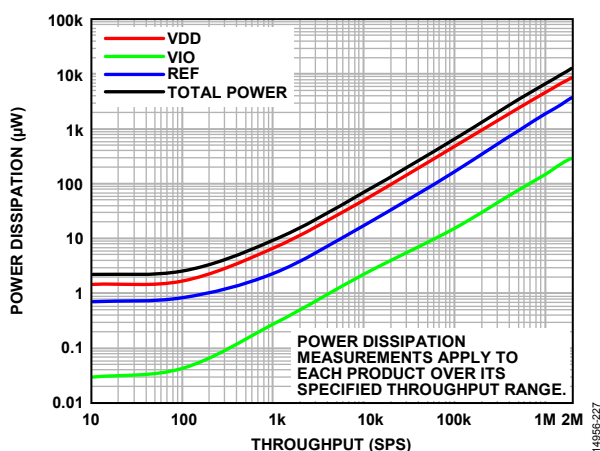


図 45. 消費電力とスループットの関係、VDD = 1.8 V、  
VIO = 1.8 V、V<sub>REF</sub> = 5 V、25 °C

## デジタル・インターフェース

AD4000/AD4004/AD4008 は、ピン数が少ないにも関わらず、シリアル・インターフェース・モードで柔軟に対応できます。また、AD4000/AD4004/AD4008 は、設定レジスタへの 16 ビット SPI 書込みでもプログラムできます。

CS モードにおいて、AD4000/AD4004/AD4008 は SPI、QSPI™、MICROWIRE®、デジタル・ホスト、DSP と互換性があります。このモードでは、AD4000/AD4004/AD4008 は 3 線式または 4 線式のインターフェースを使用できます。CNV、SCK、SDO の信号を使用する 3 線式インターフェースは、最小限の配線で機能するので、絶縁アプリケーションなどに便利です。SDI、CNV、SCK、SDO の信号を使用する 4 線式インターフェースでは、リードバック・タイミングに依存せずに CNV で変換を開始できます (SDI)。このインターフェースは、低ジッタ・サンプリングまたは同時サンプリング・アプリケーションで便利です。

AD4000/AD4004/AD4008 は、シフト・レジスタと同様に、SDI 入力を使用して 1 つのデータ・ラインで複数の ADC をカスケード接続するためのデイジーチェーン機能を備えています。

デバイスの動作モードは、CNV の立上がりエッジが発生したときの CNV レベルによって決定されます。SDI がハイの場合は CS モードが選択され、SDI がローの場合はデイジーチェーン・モードが選択されます。SDI と CNV が同時に接続される場合の SDI ホールド時間には、デイジーチェーン・モードが常に選択されます。

AD4000/AD4004/AD4008 を 3 線式または 4 線式のモードで使用する場合、データ・ビットの前にスタート・ビットを強制的に挿入するオプションがあります。このスタート・ビットをビジー信号インジケータとして使用すれば、デジタル・ホストに割り込み、データ読み出しをトリガすることができます。ビジー・インジケータとして使用しない場合、リードバック前に最大変換時間をタイムアウトさせる必要があります。

CS モードでは、CNV または SDI がローの場合に ADC 変換が終了すると、ビジー・インジケータ機能が有効になります。

表 11 に示すように、電源投入時の SDO のステータスは、CNV および SDI のステータスによって、ローまたはハイ Z のいずれかになります。

表 11. 電源投入時の SDO の状態

CNV	SDI	SDO
0	0	Low
0	1	Low
1	0	Low
1	1	ハイ Z

AD4000/AD4004/AD4008 は、3 線式モードまたは 4 線式モードの両方でターボ・モード機能を備えています。ターボ・モードは、設定レジスタへの書き込みによって有効になります。この機能は、ビジー・インジケータ機能を置き換えます。ターボ・モードを使用すると、SPI クロック・レートが遅くなるので、インターフェースがシンプルになります。AD4000 では、2 MSPS の最大スループット・レートは、ターボ・モードを有効にして、最小 SCK レートである 70 MHz を使用した場合のみ実現します。

別の変換が開始される前に変換結果がクロックアウトするよう、SCK レートを十分に速くする必要があります。アプリケーションで必要な最低 SCK レートは、サンプル期間 ( $t_{cyc}$ )、読み出しの必要があるビット数（データのオプションのステータス・ビットを含む）、使用するデジタル・インターフェース・モードに基づいて求めることができます。各デジタル・インターフェース・モードのタイミング図と説明については、動作セクションのデジタル・モードで指定します（CSモード、3線式ターボ・モードセクションからデイジーチェーン・モードセクションを参照）。

設定レジスタでステータス・ビットが有効な場合、変換データの最後でステータス・ビットをクロック出力できます。表 15 に示すように、合計 6 つのステータス・ビットがあります。

AD4000/AD4004/AD4008 は、目的の設定レジスタへの 16 ビット SPI の書き込みによって設定されます。16 ビット・ワードは、CNV がローの間に SDI ラインから書き込みます。16 ビット・ワードは、8 ビットのヘッダーと 8 ビットのレジスタ・データで構成されます。絶縁システムでは、[ADuM141D](#) が推奨されます。これにより、AD4000 をフル・スループットの 2 MSPS で動作させるために必要な 70 MHz SCK をサポートできます。

### レジスタ読出し／書込み機能

AD4000/AD4004/AD4008 レジスタ・ビットはプログラマブルで、デフォルトのステータスは表 12 のようになります。レジスタ・マップを表 14 に示します。OV クランプ・フラグは、読み出し専用のスティッキー・ビットで、過電圧状態が解消された後にレジスタの読み出しが実行された場合のみクリアされます。過電圧状態の場合、OV クランプ・フラグは 0 になります。

表 12. レジスタ・ビット

レジスタ・ビット	デフォルトのステータス
OV クランプ・フラグ	1 ビット、1 = 非アクティブ（デフォルト）
スパン圧縮	1 ビット、0 = 無効（デフォルト）
高インピーダンス・モード	1 ビット、0 = 無効（デフォルト）
ターボ・モード	1 ビット、0 = 無効（デフォルト）
6 つのステータス・ビットを有効	1 ビット、0 = 無効（デフォルト）

レジスタ・マップへのアクセスを開始するには、SPI インターフェース・ブロックの 8 ビット・コマンド・レジスタへの書き込みを実行する必要があります。AD4000/AD4004/AD4008 は、最初の 0 がクロック入力されるまで（図 46、図 47、表 12 の WEN）、オール 1 を無視します。コマンド・レジスタに読み込まれる値は常に 0 で、7 つのコマンド・ビットが続きます。このコマンドによって、動作が書き込みか読み出しかどうか決定されます。AD4000/AD4004/AD4008 コマンド・レジスタは、表 13 のようになります。

表 13. コマンド・レジスタ

Bit 7	Bit 6	Bit 5	Bit 4	Bit 3	Bit 2	Bit 1	Bit 0
WEN	R/W	0	1	0	1	0	0

レジスタの読み出し／書き込みは、CNV がローの間に発生します。SDI のデータは、SCK の立上がりエッジでクロック入力されます。SDO のデータは SCK の立下がりエッジでクロック出力されます。デイジーチェーン・モードが有効でない場合、データ転送の最後に、CNV の立上がりエッジで SDO は高インピーダンス状態になります。デイジーチェーン・モードが有効な場合、CNV の立上がりエッジで SDO はローになります。デイジーチェーン・モードでは、レジスタの読み出しを実行できません。

レジスタの読み出しには、SCK、CNV、SDI の 3 つの信号ラインが必要です。レジスタへの書き込み中に SDO の現在の変換結果の読み出しを実行するには、変換を完了した後に CNV ピンをローにする必要があります。そうしないと、間違った変換結果が SDO に出力される可能性があります。ただし、レジスタの書き込みは CNV ピンの状態に関係なく発生します。

16 ビット変換データの読み出しは 16 ビット SPI フレームに制限される可能性があるので、各設定レジスタの LSB は予約済みになります。SDI フレームの最終ビットでの SDI の状態は、CNV の立上がりで持続する場合があります。インターフェース・モードの一部は、CNV の立上がり発生時の SDI の状態によって設定されるので、このシナリオでは、最終的な SDI の状態を設定する必要があります。

図 46～図 48 のタイミング図に、レジスタの読み出し、書き出し、デイジーチェーン・モードで AD4000/AD4004/AD4008 を構成する場合にデータの読み出し／書き出しを実行する方法を示します。

表 14. レジスタ・マップ

ADDR [1:0]	Bit 7	Bit 6	Bit 5	Bit 4	Bit 3	Bit 2	Bit 1	Bit 0	リセット
0x0	予備	予備	予備	6 つのステータス・ビットを有効	スパン圧縮	高インピーダンス・モード	ターボ・モード	OV クランプ・フラグ（読み出し専用のスティッキー・ビット）	0xE1

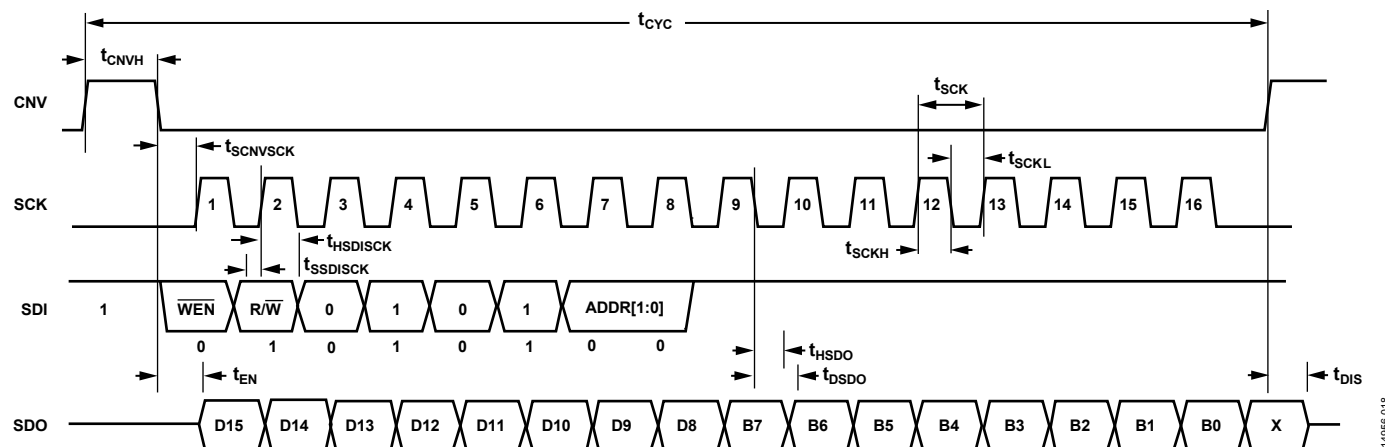


図 46. レジスタ読出しのタイミング図 (X はドント・ケア)

14956-018

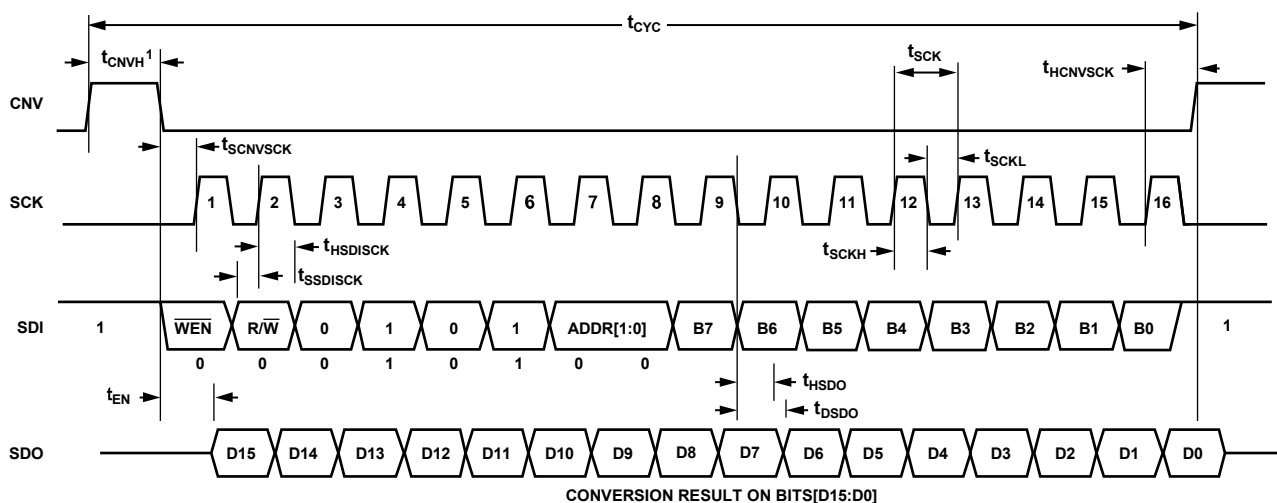
1THE USER MUST WAIT  $t_{CONV}$  WHEN READING BACK THE CONVERSION RESULT AND PERFORMING A REGISTER WRITE AT THE SAME TIME.

図 47. レジスタ書込みのタイミング図

14956-019

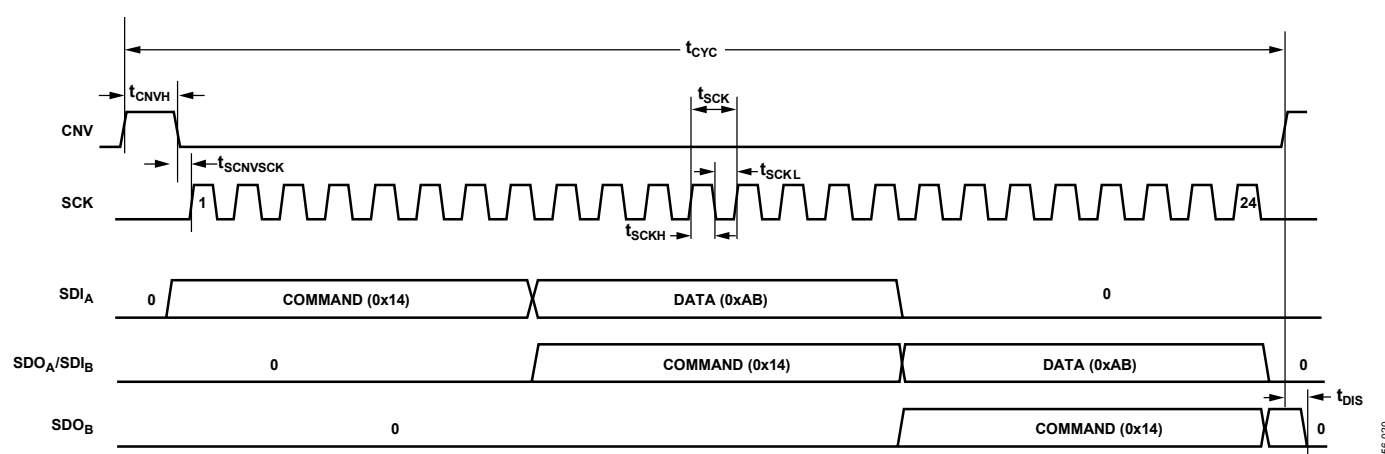


図 48. レジスタ書込みのタイミング図、デジ털・チェーン・モード

14956-020

## ステータス・ワード

変換結果の最後に6ビットのステータス・ワードを追加できます。これらのビットのデフォルト状態は、表15で示されます。レジスタ設定でステータス・ビットを有効にする必要があります。OV クランプ・フラグが0の場合、過電圧状態が発生しています。OV クランプ・フラグのステータス・ビットは、変換ごとに更新されます。

SDOラインは、6番目のステータス・ビットがクロック出力された後に高インピーダンスになります(ディジーチェーン・モードを除く)。次の変換を開始するため、すべてのステータスをクロック出力する必要はありません。CSモード、ビジー・インジケータなしの3線式シリアル・インターフェース(ステータス・ビットを含む)のタイミング図を図49に示します。

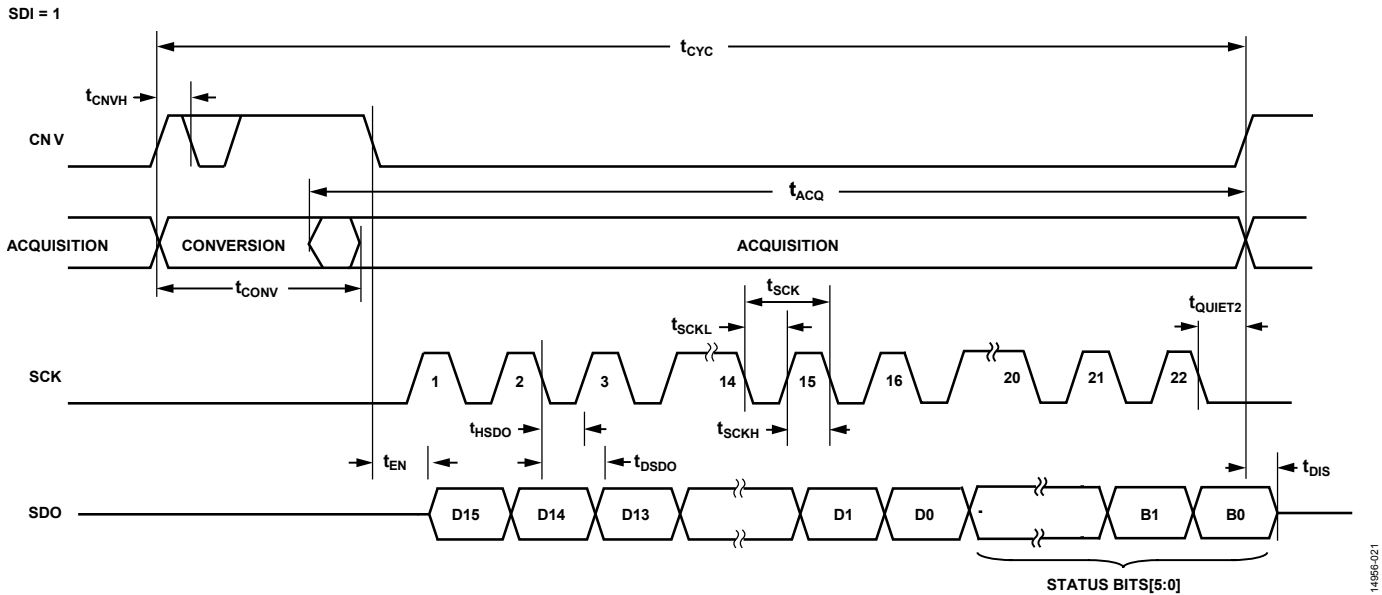


図49. CSモード、ビジー・インジケータなしの3線式シリアル・インターフェースのタイミング図、ステータス・ビットを含む(SDI ハイ)

表15. ステータス・ビット(デフォルト条件)

Bit 5	Bit 4	Bit 3	Bit 2	Bit 1	Bit 0
OVクランプ・フラグ	スパン圧縮	高インピーダンス・モード	ターボ・モード	予備	予備

## CSモード、3線式ターボ・モード

通常、このモードは、1台のAD4000/AD4004/AD4008デバイスをSPI互換デジタル・ホストに接続する場合に使用されます。前回の変換結果をクロック出力するADC変換プロセスの最後に時間が追加されるので、SCKレートが低くなります。AD4000では、ターボ・モードを有効にして、70MHzの最小SCKレートを使用した場合のみ、2MSPSのスループット・レートを実現できます。ターボ・モードを有効にすると、AD4004は22MHzの最小SCKレートを使用した場合に1MSPSの最大スループット・レートを実現できます。AD4008は10MHzの最小SCKレートを使用した場合に500kSPSの最大スループット・レートを実現できます。接続図を図50に示します。対応するタイミング図は図51に示します。

ターボ・モードのビット1をプログラムすることで、ビジー・インジケータ付きの3線式モードがターボ・モードに変わります（表14を参照）。

SDIが強制的にハイになると、CNVの立上がりエッジで変換が開始されます。前回の変換データは、CNVの立上がりエッジ後の読み出しで使用できます。CNVがハイになった後、CNVがローになる前に、前回の変換結果をクロック出力するには、 $t_{QUIET1}$ 時間だけ待機する必要があります。また、CNVがハイの場合、SCKの最後の立下りエッジの後、 $t_{QUIET2}$ 時間だけ待機する必要があります。

変換が完了すると、AD4000/AD4004/AD4008はアクイジョン・フェーズに移行し、パワーダウンします。CNVがローになると、MSBがSDOに出力されます。残りのデータ・ビットは、後続のSCKの立下りエッジで記録されます。両方のSCKエッジでデータは有効です。立上がりエッジでデータをキャプチャできますが、SCKの立下りエッジを使用するデジタル・ホストでは、ホールド時間が許容可能であれば読み出しレートが速くなります。16番目のSCKの立下りエッジの発生後またはCNVがハイになった後（どちらか最初に発生した方）、SDOは高インピーダンスに戻ります。

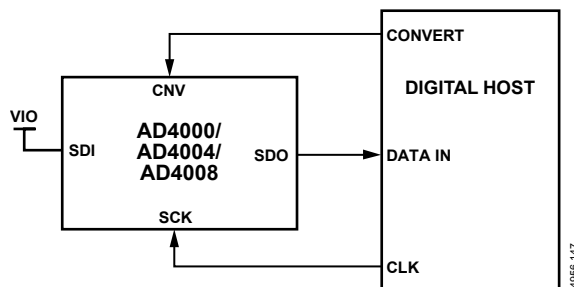


図50. CSモード、3線式ターボ・モードの接続図 (SDIはハイ)

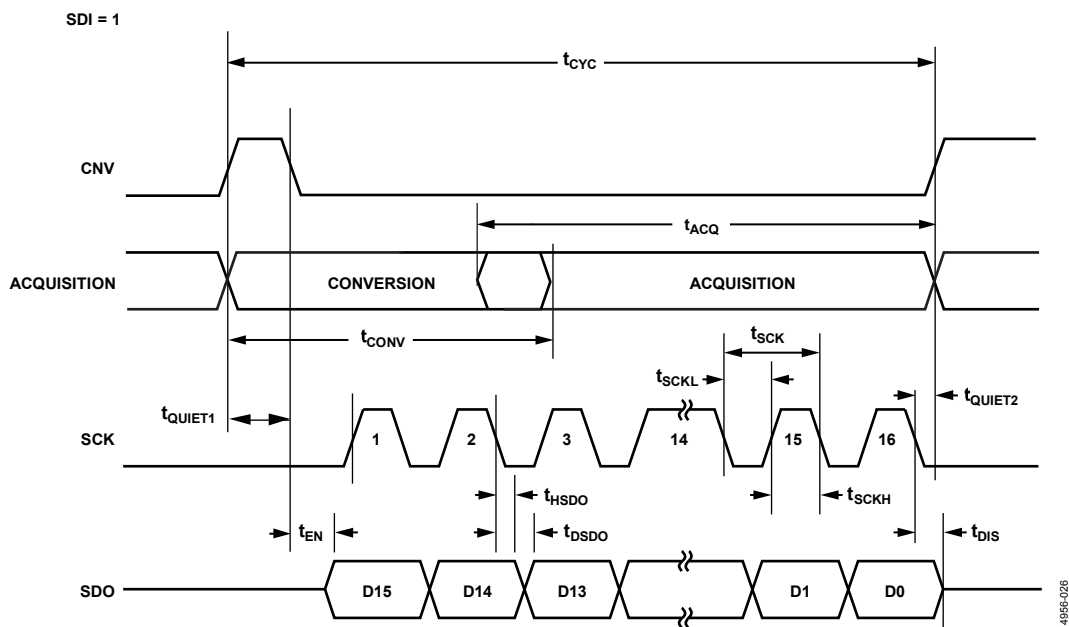


図51. CSモード、3線式ターボ・モードのシリアル・インターフェースのタイミング図 (SDIはハイ)

**CSモード、3線式、ビジー・インジケータなし**

通常、このモードは、1台の AD4000/AD4004/AD4008 デバイスを SPI 互換デジタル・ホストに接続する場合に使用されます。接続図を図 52 に示します。対応するタイミング図は図 53 に示します。

SDI を VIO に接続すると、CNV の立上がりエッジで変換が開始され、CSモードが選択され、SDO が強制的に高インピーダンスに移行します。変換を開始すると、CNV の状態に関係なく、変換が完了するまで続行されます。この機能は、CNV をローにして、アナログ・マルチプレクサなどの SPI デバイスを選択する場合に便利です。ただし、ビジー信号インジケータの生成を防ぐため、最小変換時間が経過する前に CNV をハイに戻し、最大変換時間にわたりハイに保つ必要があります。

変換が完了すると、AD4000/AD4004/AD4008 はアクイジション・フェーズに移行し、パワードウンします。CNV がローになると、MSB が SDO に出力されます。残りのデータ・ビットは、後続の SCK の立下がりエッジで記録されます。両方の SCK エッジでデータは有効です。立上がりエッジでデータをキャプチャできますが、SCK の立下がりエッジを使用するデジタル・ホストでは、ホールド時間が許容可能であれば読み出しが速くなります。16番目の SCK の立下がりエッジの発生後または CNV がハイになった後（どちらか最初に発生した方）、SDO は高インピーダンスに戻ります。

変換中に SCK のデジタル動作が発生してはいけません。

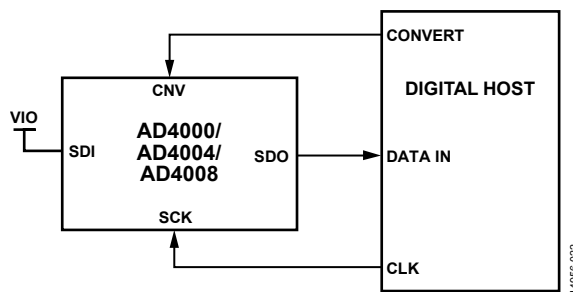


図 52. CSモード、3線式（ビジー・インジケータなし）の接続図（SDI はハイ）

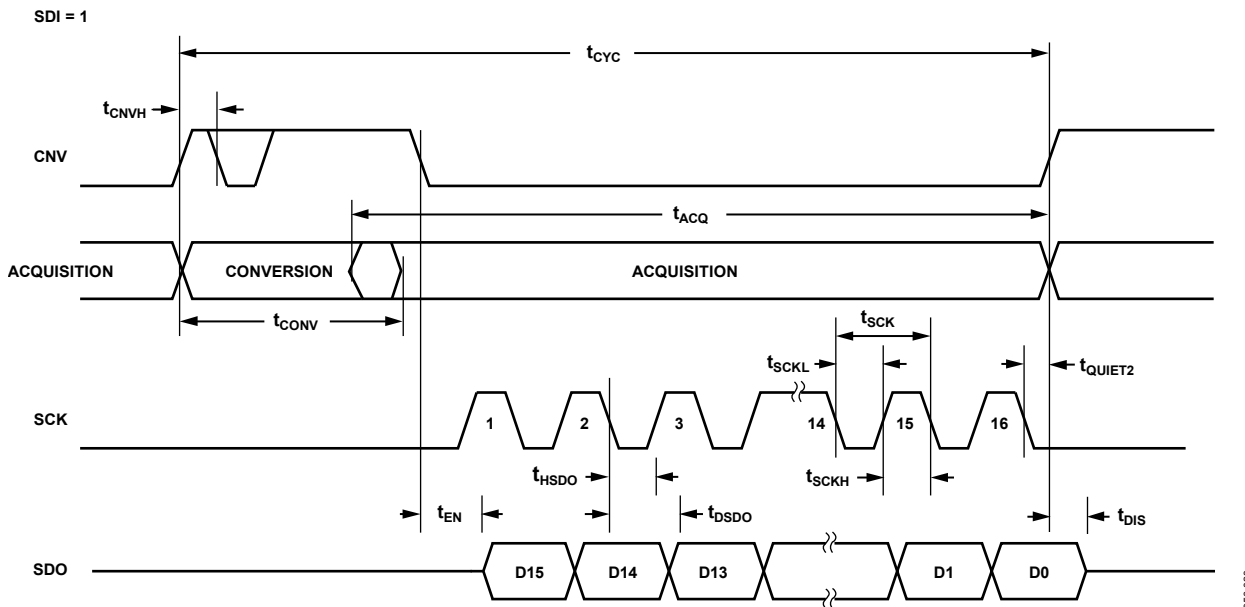


図 53. CSモード、3線式シリアル・インターフェース（ビジー・インジケータなし）のタイミング図（SDI ハイ）

### CSモード、3線式、ビジー・インジケータあり

通常、このモードは、割込み入力を備えた SPI 互換のデジタル・ホストに 1 台の AD4000/AD4004/AD4008 デバイスを接続する場合に使用されます (IRQ)。

接続図を 図 54 に示します。対応するタイミング図は 図 55 に示します。

SDI を VIO に接続すると、CNV の立上がりエッジで変換が開始され、CSモードが選択され、SDO が強制的に高インピーダンスに移行します。SDO は CNV の状態に関係なく、変換が完了するまで高インピーダンス状態に保たれます。最小変換時間が経過する前に、CNV でアナログ・マルチプレクサなどの SPI デバイスを選択できます。ただし、ビジー信号インジケータが確実に生成されるように、最小変換時間が経過する前に CNV をローに戻し、最大変換時間にわたりローに保つ必要があります。

変換が完了すると、SDO は高インピーダンスから低インピーダンスになります。SDO ラインの 1 kΩ のプルアップ抵抗とこの遷移を

組み合わせて、割込み信号として使用すれば、デジタル・ホストによって制御されるデータ読出しを開始できます。その後、AD4000/AD4004/AD4008 はアクイジション・フェーズに移行し、パワーダウンします。後続の SCK の立ち下がりエッジで、データ・ビットが MSB ファーストでクロック出力されます。両方の SCK エッジでデータは有効です。立上がりエッジでデータをキャプチャできますが、SCK の立下がりエッジを使用するデジタル・ホストでは、ホールド時間が許容可能であれば読出しレートが速くなります。オプションの 17 番目の SCK の立下がりエッジの発生後または CNV がハイになった後(どちらか最初に発生した方)、SDO は高インピーダンスに戻ります。

複数の AD4000/AD4004/AD4008 デバイスを同時に選択すると、SDO 出力ピンは、損傷や誘導ラッチアップを引き起こさないで、この競合を処理します。余分な消費電力を制限するため、この競合の期間を可能な限り短くすることが推奨されます。

変換中に SCK のデジタル動作が発生してはいけません。

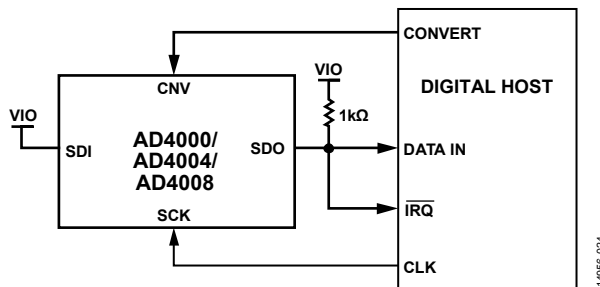


図 54. CSモード、3線式（ビジー・インジケータあり）の接続図（SDI はハイ）

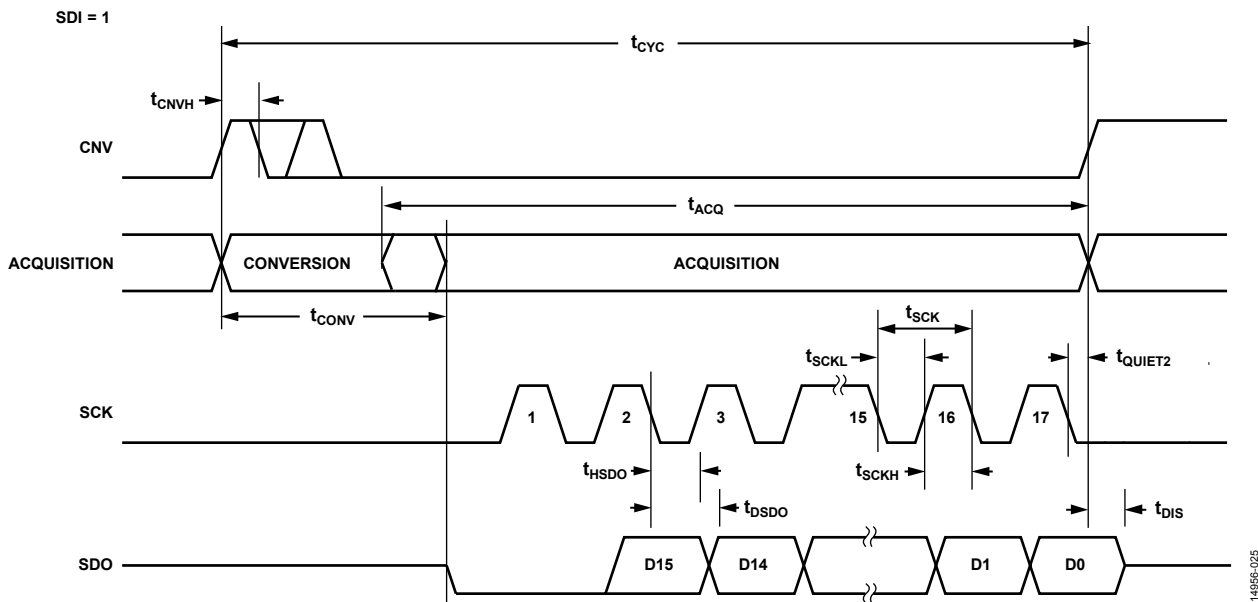


図 55. CSモード、3線式シリアル・インターフェース（ビジー・インジケータあり）のタイミング図（SDI はハイ）

**CSモード、4線式ターボ・モード**

通常、このモードは、1台のAD4000/AD4004/AD4008デバイスをSPI互換デジタル・ホストに接続する場合に使用されます。前回の変換結果をクロック出力するADC変換プロセスの最後に時間が追加されるので、SCKレートが低くなります。AD4000では、ターボ・モードを有効にして、70MHzの最小SCKレートを使用した場合のみ、2MSPSのスループット・レートを実現できます。ターボ・モードを有効にすると、AD4004は22MHzの最小SCKレートを使用した場合に1MSPSの最大スループット・レートを実現し、AD4008は10MHzの最小SCKレートを使用した場合に500kSPSの最大スループット・レートを実現できます。接続図を図56に示します。対応するタイミング図は図57に示します。

ターボ・モードのビット1をプログラムすることで、ビジー・インジケータ付きの4線式モードがターボ・モードに変わります（表14を参照）。

SDIがハイの場合、CNVの立上がりエッジで変換が開始されます。前回の変換データは、CNVの立上がりエッジ後の読み出しで使用できます。CNVがハイになった後、SDIがローになる前に、前回の変換結果をクロック出力するため、 $t_{QUIET1}$ 時間だけ待機する必要があります。また、CNVがハイの場合、SCKの最後の立下がりエッジの後、 $t_{QUIET2}$ 時間だけ待機する必要があります。

変換が完了すると、AD4000/AD4004/AD4008はアクイジョン・フェーズに移行し、パワーダウンします。SDI入力をローになると、ADC結果の読み出しを実行できます。その結果、MSBがSDOに出力されます。残りのデータ・ビットは、後続のSCKの立下がりエッジで記録されます。両方のSCKエッジでデータは有効です。立上がりエッジでデータをキャプチャできますが、SCKの立下がりエッジを使用するデジタル・ホストでは、ホールド時間が許容可能であれば読み出しレートが速くなります。16番目のSCKの立下がりエッジの発生後またはSDIがハイになった後（どちらか最初に発生した方）、SDOは高インピーダンスに戻ります。

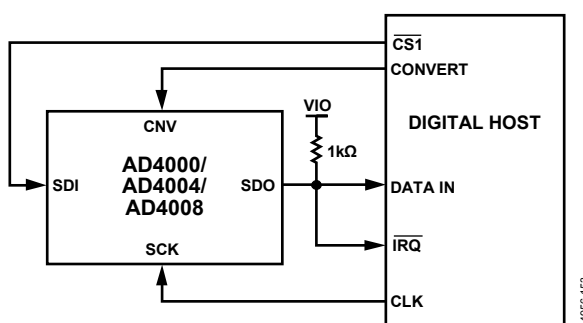


図56. CSモード、4線式ターボ・モードの接続図

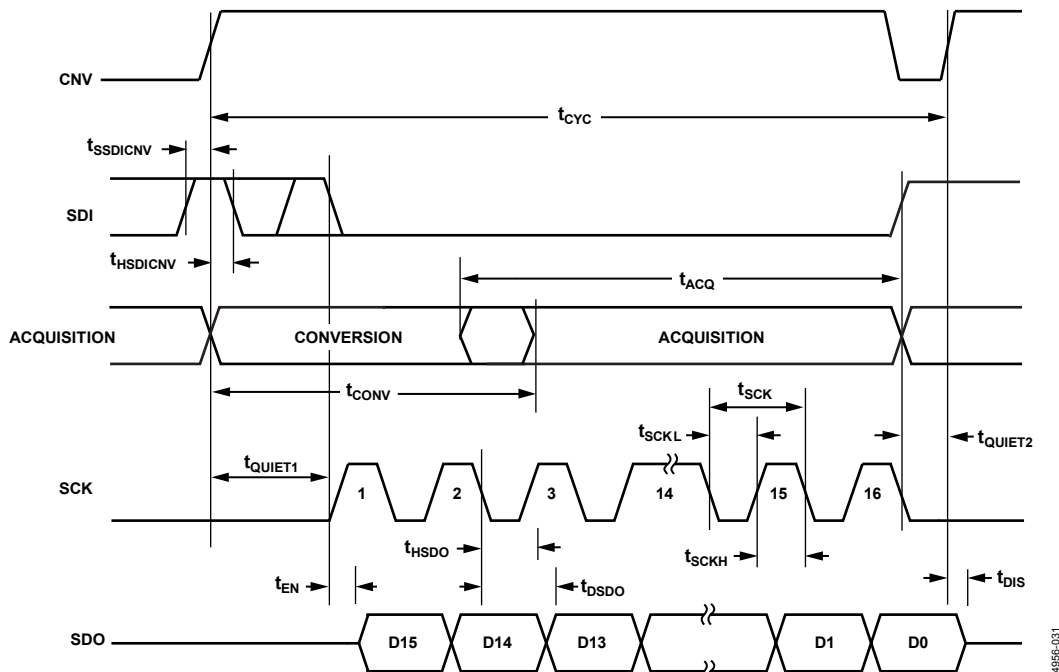


図57. CSモード、4線式ターボ・モードのタイミング図

**CSモード、4線式、ビジー・インジケータなし**

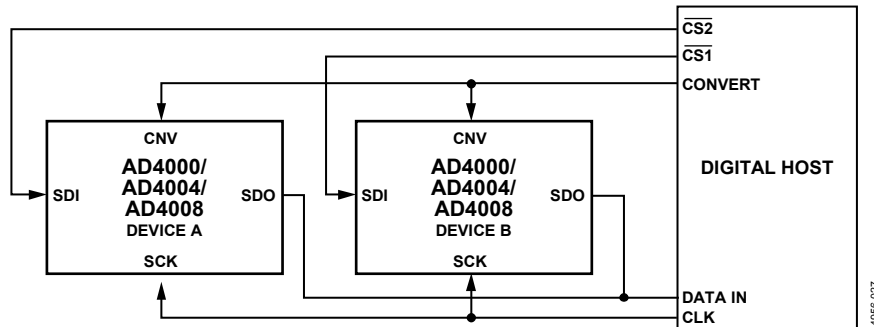
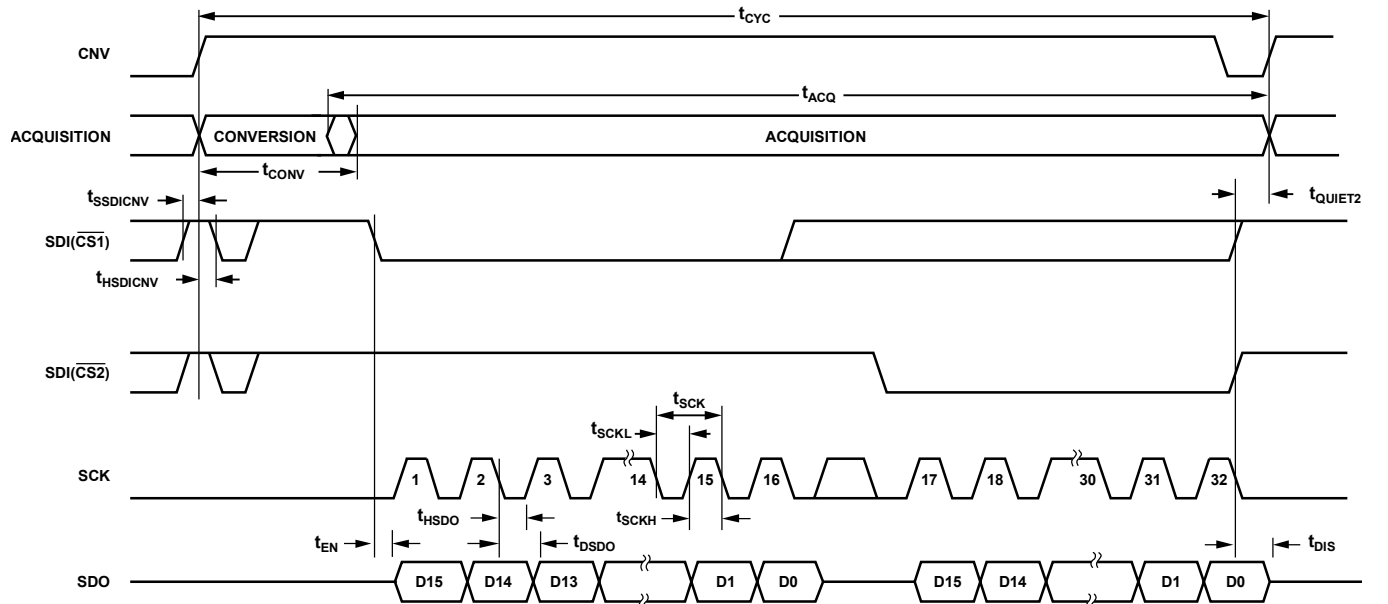
通常、このモードは、複数の AD4000/AD4004/AD4008 デバイスを SPI 互換のデジタル・ホストに接続する場合に使用されます。

2台の AD4000/AD4004/AD4008 デバイスを使用する接続図の例を図 58 に示します。対応するタイミング図は図 59 に示します。

SDI がハイの場合、CNV の立上がりエッジで変換が開始され、 $\overline{CS}$  モードが選択され、SDO が強制的に高インピーダンスに移行します。このモードでは、変換フェーズと後続のデータ・リードバックの間、CNV をハイに保つ必要があります。SDI と CNV がローの場合、SDO はローになります。最小変換時間の前に、SDI でアナログ・マルチプレクサなどの SPI デバイスを選択できます。ただし、ビジー信号インジケータの生成を防ぐため、最小変換時

間にが経過する前に SDI をハイに戻し、最大変換時間にわたりハイに保つ必要があります。

変換が完了すると、AD4000/AD4004/AD4008 はアクイジション・フェーズに移行し、パワーダウンします。SDI 入力をローになると、ADC 結果の読み出しを実行できます。その後、MSB が SDO に出力されます。残りのデータ・ビットは、後続の SCK の立下がりエッジで記録されます。両方の SCK エッジでデータは有効です。立上がりエッジでデータをキャプチャできますが、SCK の立下がりエッジを使用するデジタル・ホストでは、ホールド時間が許容可能であれば読み出しが速くなります。16番目の SCK の立下がりエッジの発生後または CNV がハイになった後（どちらか最初に発生した方）、SDO は高インピーダンスに戻り、別の AD4000/AD4004/AD4008 の読み出しを実行できます。

図 58.  $\overline{CS}$  モード、4 線式（ビジー・インジケータなし）の接続図図 59.  $\overline{CS}$  モード、4 線式シリアル・インターフェース（ビジー・インジケータなし）のタイミング図

**CSモード、4線式、ビジー・インジケータあり**

通常、このモードは、割込み入力 ( $\overline{IRQ}$ ) を使用して SPI 互換のデジタル・ホストに 1 台の AD4000/AD4004/AD4008 デバイスを接続し、データの読み出しに使用される信号に関係なく、CNV を維持してアナログ入力をサンプリングする場合に使用されます。この独立性は、CNV で低ジッタが必要なアプリケーションで特に重要になります。

接続図を 図 60 に示します。対応するタイミング図は 図 61 に示します。

SDI がハイの場合、CNV の立ち上がりエッジで変換が開始され、 $\overline{CS}$  モードが選択され、SDO が強制的に高インピーダンスに移行します。このモードでは、変換フェーズと後続のデータ・リードバックの間、CNV をハイに保つ必要があります。SDI と CNV がローの場合、SDO はローになります。最小変換時間が経過する前に、SDI でアナログ・マルチプレクサなどの SPI デバイスを選択でき

ます。ただし、ビジー信号インジケータが確実に生成されるように、最小変換時間が経過する前に SDI をローに戻し、最大変換時間にわたりローに保つ必要があります。

変換が完了すると、SDO は高インピーダンスから低インピーダンスになります。SDO ラインの  $1\text{k}\Omega$  のプルアップ抵抗との遷移を組み合わせて割込み信号として使用することで、デジタル・ホストによって制御されるデータのリードバックを開始できます。その後、AD4000/AD4004/AD4008 はアクイジョン・フェーズに移行し、パワーダウンします。後続の SCK の立ち下がりエッジで、データ・ビットが MSB ファーストでクロック出力されます。両方の SCK エッジでデータは有効です。立ち上がりエッジでデータをキャプチャできますが、SCK の立ち下がりエッジを使用するデジタル・ホストでは、ホールド時間が許容可能であれば読み出しが速くなります。オプションの 17 番目の SCK の立ち下がりエッジの発生後または SDI がハイになった後（どちらか最初に発生した方）、SDO は高インピーダンスに戻ります。

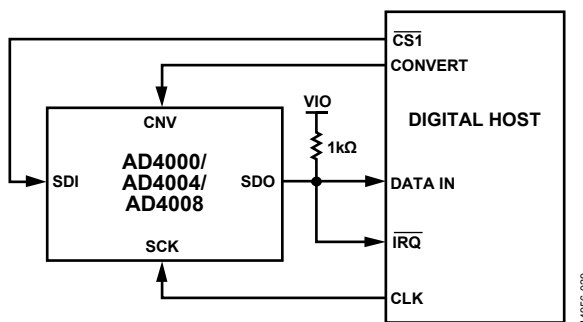


図 60.  $\overline{CS}$  モード、4 線式 (ビジー・インジケータあり) の接続図

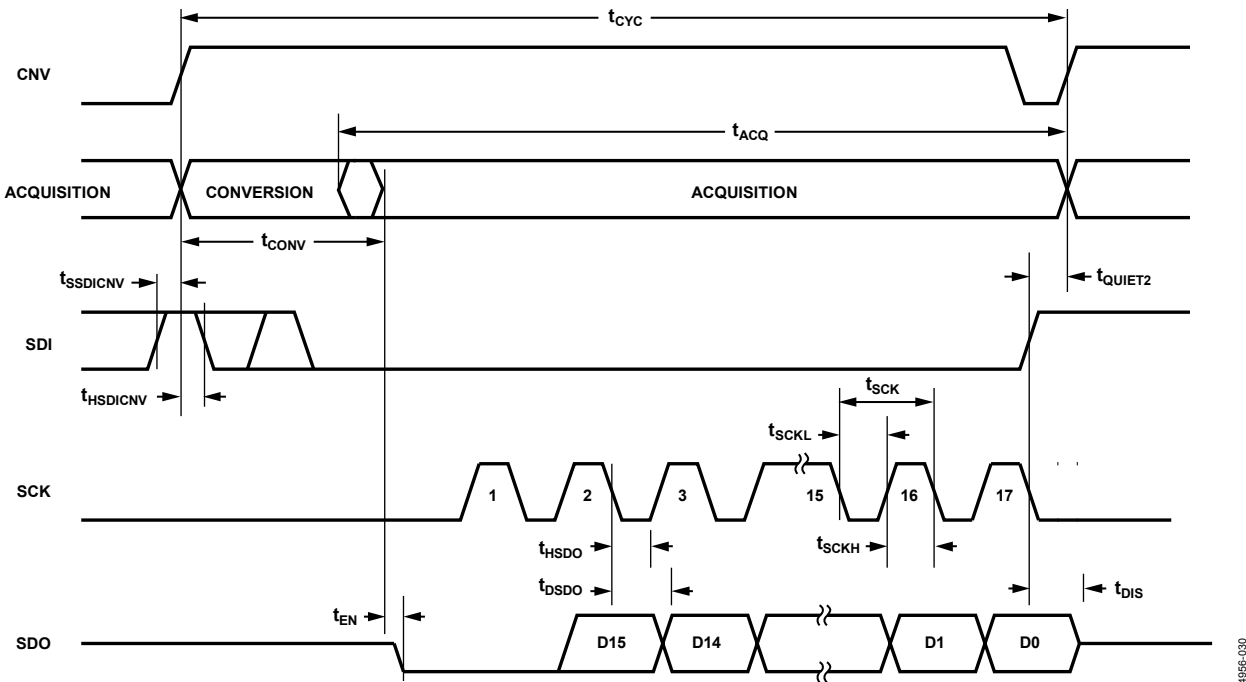


図 61.  $\overline{CS}$  モード、4 線式シリアル・インターフェース (ビジー・インジケータあり) のタイミング図

## デイジーチェーン・モード

3 線式または 4 線式のシリアル・インターフェースに複数の AD4000/AD4004/AD4008 デバイスをデイジーチェーン接続するには、このモードを使用します。この機能は、絶縁された複数のコンバータを使用するアプリケーションまたはインターフェース能力が制限されているシステムなどで、部品数と配線数を削減するうえで役立ちます。データのリードバックは、シフト・レジスタのクロッキングと似ています。

2 台の AD4000/AD4004/AD4008 デバイスを使用する接続図の例を図 62 に示します。対応するタイミング図は図 63 に示します。

SDI と CNV がローの場合、SDO はローになります。SCK がローの場合、CNV の立上がりエッジで変換が開始され、デイジーチェーン・モードが選択され、ビジー・インジケータが無効になります。このモードでは、変換フェーズと後続のデータ・リードバックの間、CNV がハイに維持されます。

変換が完了すると、MSB が SDO に出力され、AD4000/AD4004/AD4008 はアクイジション・フェーズに移行して、パワーダウンします。残りのデータ・ビットは、内部シフト・レジスタに保存され、後続の SCK 立下がりエッジで SDO からクロック出力されます。各 ADC で、SDI は内部シフト・レジスタの入力を供給し、SCK 立上がりエッジで記録します。デイジーチェーン出力の各 ADC は、データ MSB ファーストでデータを出力します。N 個の

ADC をリードバックするには、 $16 \times N$  個のクロックが必要です。両方の SCK エッジでデータは有効です。最大変換レートは、合計リードバック時間によって減少します。

デイジーチェーン・モードでは、各 ADC レジスタに書き込みを実行できます。タイミング図を図 48 に示します。このモードでは、CNV をローに維持して SDI ラインでデータがクロック入力されるため、4 線式の動作が必要です。同じコマンド・バイトとレジスタ・データをチェーン全体でシフトして、同じレジスタ値すべての ADC をプログラムできます。ここで、N 個の ADC を使用する場合、 $8 \times (N+1)$  個のクロックが必要です。最初に、チェーン内の  $8 \times (N+1)$  個のクロックを使用して最後の ADC に書き込みを実行します。次に、 $8 \times N$  個のクロックを使用して最後から 2 番目の ADC に書き込みを実行します。その後、チェーン内の最も近い ADC に到達するまでこの動作を繰り返し、各 ADC にレジスタ値を書き込みます。この場合、コマンドとレジスタ・データ用に 16 個のクロックが必要です。デイジーチェーン・モードでは、レジスタ値の読み出しを実行できません。ただし、ADC の設定を決定する場合は、6 つのステータス・ビットを有効にできます。ステータス・ビットを有効にするには、ADC の結果とチェーン内の ADC ごとのステータス・ビットをクロック出力するため、6 つのクロックが余分に必要です。デイジーチェーン・モードでは、ターボ・モードを使用できません。

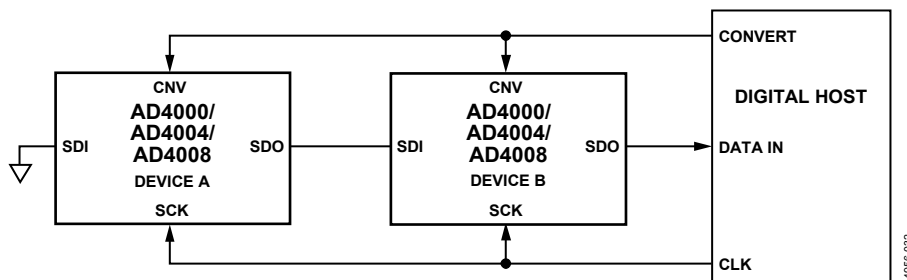


図 62. デイジーチェーン・モード、接続図

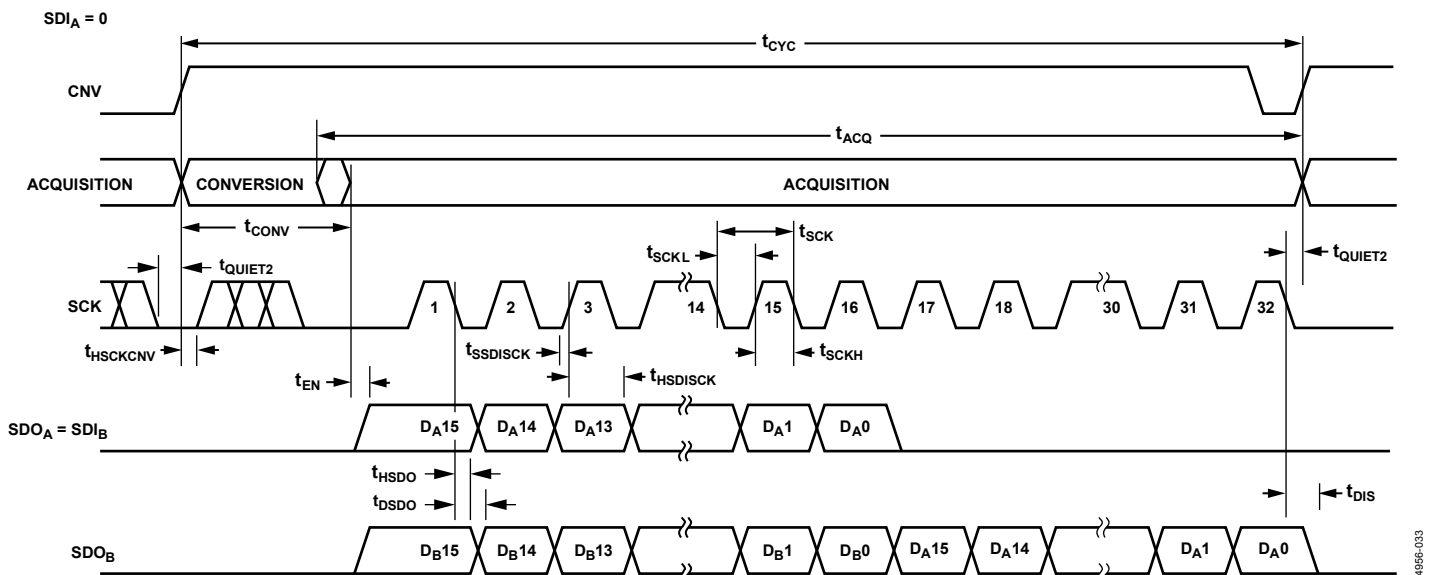


図 63. デイジーチェーン・モード、シリアル・インターフェースのタイミング図

## レイアウトのガイドライン

AD4000/AD4004/AD4008 を実装する基板では、アナログ・セクションとデジタル・セクションを分離し、ボードの特定の領域に収納するように設計する必要があります。AD4000/AD4004/AD4008 のピン配置では、左側にアナログ信号を配置し、右側にデジタル信号を配置することで、このタスクが容易になります。

AD4000/AD4004/AD4008 の下にグラウンド・プレーンをシールドとして配置する場合を除き、チップにノイズが混入しないよう、デバイスの下にはデジタル・ラインを配置しないでください。CNV やクロックなど、高速のスイッチング信号をアナログ信号経路の近くで伝送させないでください。デジタル信号とアナログ信号が交差してはいけません。

グラウンド・プレーンを 1 つ以上使用する必要があります。デジタル・セクションとアナログ・セクションの間で共通のプレーンとして使用するか、別々に分割できます。後者の場合、AD4000/AD4004/AD4008 デバイスの下で両方のプレーンを結合します。

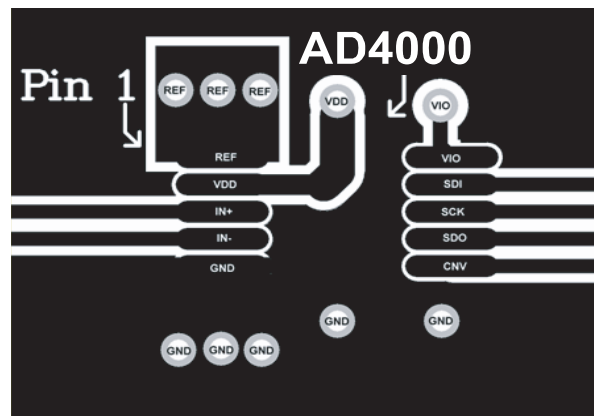
AD4000/AD4004/AD4008 電圧リファレンス入力 (REF) には、動的入力インピーダンスが含まれます。リファレンス・デカップリング・セラミック・コンデンサを REF ピンと GND ピンの近く（理想的には真上）に配置し、幅の広い、低インピーダンス・パターンに接続することで、最低限の寄生インダクタンスで REF ピンをデカップリングできます。

最後に、AD4000/AD4004/AD4008 の VDD 電源と VIO 電源をデカップリングします。通常、 $0.1 \mu\text{F}$  のセラミック・コンデンサを AD4000/AD4004/AD4008 の近くに配置し、短く広いパターンで接続して、低インピーダンス経路を作成し、電源ラインでグリッチの影響を減らします。

これらのルールに従う AD4000 のレイアウトの例を図 64 と図 65 に示します。AD4004/AD4008 のレイアウトは、AD4000 のレイアウトと同じです。

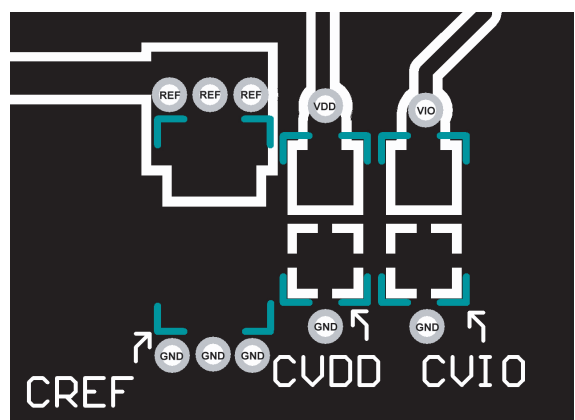
## AD4000/AD4004/AD4008 の性能の評価

AD4000/AD4004/AD4008 に推奨されるその他のレイアウトは、AD4000 ([EVAL-AD4000FMCZ](#)) の評価用ボードユーザー・ガイドに記載されています。評価用ボード・パッケージには、組み立てが完了した AD4000 でテスト済みの評価用ボード、技術文書、ボードを [EVAL-SDP-CH1Z](#) 経由で制御するためのソフトウェアが含まれます。[EVAL-AD4000FMCZ](#) を使用して、ソフトウェアでスループットをそれぞれ 1 MSPS/500 kSPS に制限して、AD4004/AD4008 を評価できます ([UG-1042](#) を参照)



14986-034

図 64. AD4000 (表面層) のレイアウト例



14986-035

図 65. AD4000 (裏面層) のレイアウト例

## 外形寸法

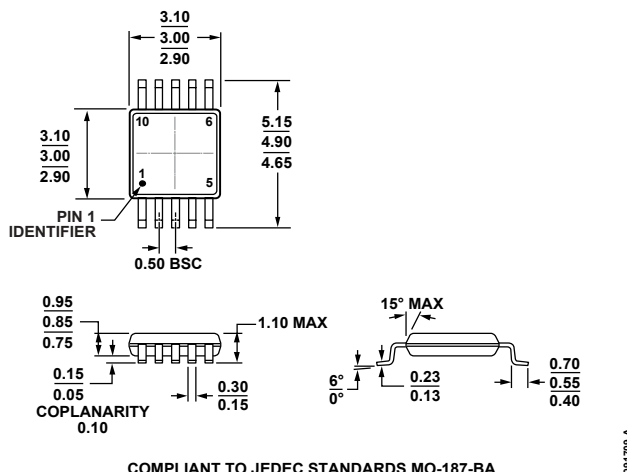


図 66. 10 ピン、ミニ・スモール・アウトライン・パッケージ [MSOP]  
(RM-10)

寸法単位: mm

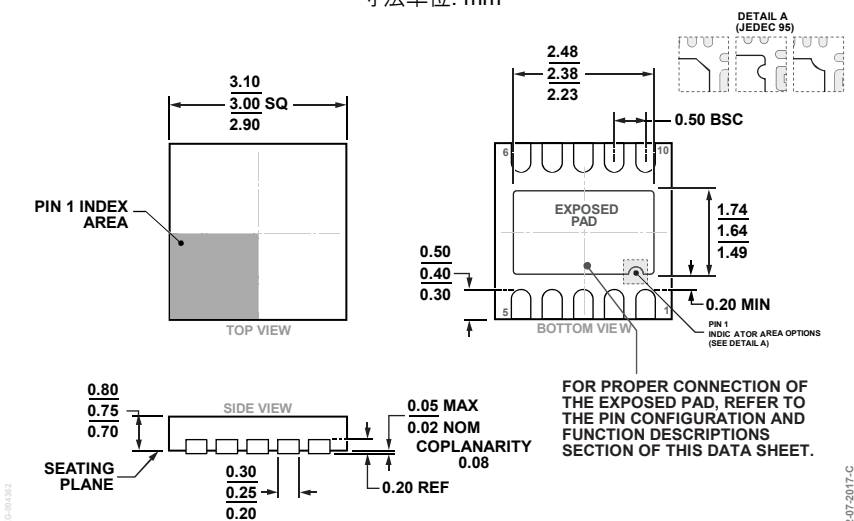


図 67. 10 ピン・リードフレーム・チップスケール・パッケージ [LFCSP]  
3 mm × 3 mm ボディ、0.75 mm パッケージ高 (CP-10-9)  
寸法: mm

## オーダー・ガイド

Model <sup>1, 2</sup>	Integral Nonlinearity (INL)	Temperature Range	Package Description	Ordering Quantity	Package Option	Branding
AD4000BRMZ	±1.0 LSB	-40°C to +125°C	10-Lead MSOP, Tube	50	RM-10	Y61
AD4000BRMZ-RL7	±1.0 LSB	-40°C to +125°C	10-Lead MSOP, Reel	1000	RM-10	Y61
AD4000BCPZ-RL7	±1.0 LSB	-40°C to +125°C	10-Lead LFCSP, Reel	1500	CP-10-9	Y61
AD4004BRMZ	±1.0 LSB	-40°C to +125°C	10-Lead MSOP, Tube	50	RM-10	C8F
AD4004BRMZ-RL7	±1.0 LSB	-40°C to +125°C	10-Lead MSOP, Reel	1000	RM-10	C8F
AD4004BCPZ-RL7	±1.0 LSB	-40°C to +125°C	10-Lead LFCSP, Reel	1500	CP-10-9	C8F
AD4008BCPZ-RL7	±1.0 LSB	-40°C to +125°C	10-Lead LFCSP, Reel	1500	CP-10-9	C8S
EVAL-AD4000FMCZ			AD4000 Evaluation Board Compatible with EVAL-SDP-CH1Z			

<sup>1</sup> Z = RoHS 準拠製品

<sup>2</sup> EVAL-AD4000FMCZ を使用して、ソフトウェアでスループットを 1 MSPS と 500 kSPS に設定して、AD4004 と AD4008 を評価できます (UG-1042 参照)